

บทที่ 3

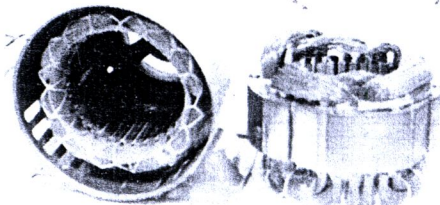
วิธีดำเนินงานวิจัยและผลการทดลอง

มอเตอร์ที่ใช้ในการวิจัย และชุดอุปกรณ์ที่ใช้ในการทดลองเมื่อตัวนำโรเตอร์แตก

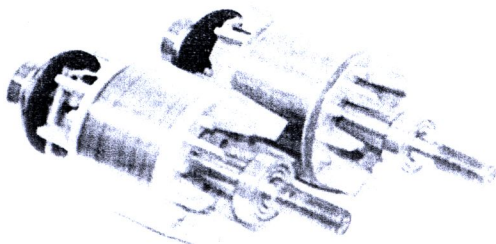
มอเตอร์ที่นำมาใช้ในการทดลอง คือ อินดักชั่นมอเตอร์ 1 เฟส ชนิดมอเตอร์สปลิตเฟส (Split - Phase Induction Motor) จำนวน 1 ตัว ในส่วนของรายละเอียดของมอเตอร์แสดงในตาราง 3.1 โดยโครงสร้างของอินดักชั่นมอเตอร์ 1 เฟส แสดงในรูปที่ 3.1

ตาราง 3.1 แสดงรายละเอียดตามเนมเพลทของอินดักชั่นมอเตอร์ที่ใช้ในการทดลอง

จำนวนเฟส	พิกัดกำลัง (W)	แรงดัน (V)	กระแส (A)	ความเร็วรอบ (rpm)	จำนวนโปล	จำนวนตัวนำ โรเตอร์
1	186.5	220	2.4	1425	4	44



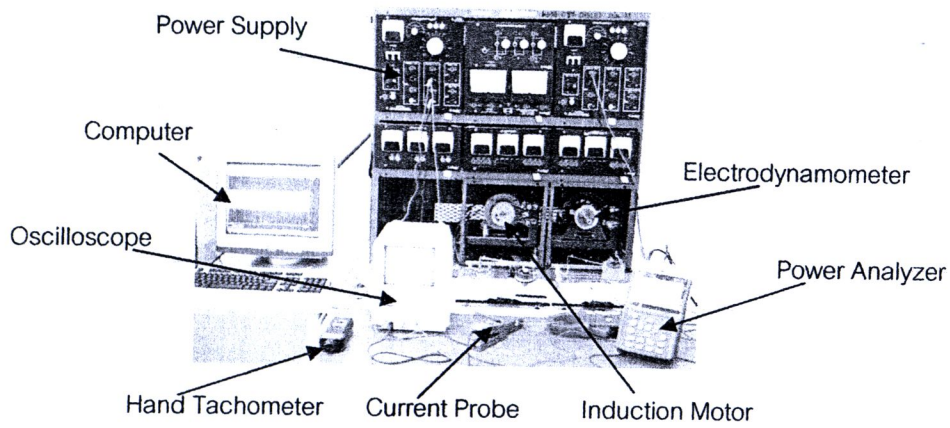
a)



b)

รูปที่ 3.1 โครงสร้างของอินดักชั่นมอเตอร์ 1 เฟส a) สเตเตอร์ b) โรเตอร์

ในส่วนของชุดอุปกรณ์ในการทดลองเพื่อตรวจสอบความเสียหายของตัวนำโรเตอร์แตก ประกอบด้วย 8 ส่วนหลัก คือ แหล่งจ่ายไฟฟ้า (Power Supply), ไพรบวัดกระแส (Current Probe), ชุดปรับโหนดของมอเตอร์ (Electrodynamometer), เครื่องวัดความเร็วรอบ (Hand Tachometer), อินดักชั่นมอเตอร์ (Induction Motor), ออสซิโลสโคป (Oscilloscope), คอมพิวเตอร์ (Computer), และชุดเครื่องวัดกำลังไฟฟ้า (Power Analyzer), ดังแสดงในรูปที่ 3.2



รูปที่ 3.2 ชุดอุปกรณ์ที่ใช้ในการทดสอบมอเตอร์

การวิเคราะห์ความผิดปกติเมื่อตัวนำโรเตอร์แตกด้วยกระแสสัตเตอเรอร์

การทดสอบการตรวจจับความเสียหายของแท่งตัวนำโรเตอร์แตกหักในเครื่องจักรกลไฟฟ้าในดักชั่น ใช้วิธีการวิเคราะห์สัญญาณกระแส (Motor Current Signature Analysis, MCSA) กล่าวคือเมื่อเกิดกรณีแท่งตัวนำผิดปกติหรือแตกหักเกิดขึ้น ส่งผลให้เกิดการเปลี่ยนแปลงของ กระแสสัตเตอเรอร์ที่ความถี่ตามสมการ (3.1) ซึ่งスペกตรัมที่เกิดขึ้นนี้จะปรากฏบริเวณรอบความถี่มูลฐานจะอยู่ในเทอนขององค์ประกอบแบบด้านล่าง (Lower Sideband, LSB) และแบบด้านบนสูง (Upper Sideband, USB) แสดงดังรูปที่ 3.3 [3, 4, 5, 6, 7, 8, 9, 10, 11]

$$f_{sb} = (1 \pm 2ks)f_e \quad (3.1)$$

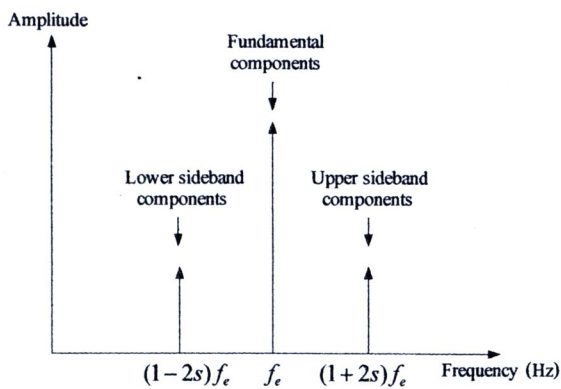
เมื่อ f_{sb} คือ ความถี่ที่เกิดจากแท่งตัวนำเสียหาย, f_e คือ ความถี่ของแหล่งจ่าย, s คือ ค่าสลิปของมอเตอร์ และ $k = 1, 2, 3, \dots$, ค่าสลิปนิยามโดยความสัมพันธ์ระหว่างความเร็วทางกล n_m กับความเร็วชิงโกรนัส n_s

$$s = \frac{n_s - n_m}{n_s} \quad (3.2)$$

ความเร็วชิงโกรนัส n_s มีสัมพันธ์กับความถี่ของแหล่งจ่าย f_e ดังนี้

$$n_s = \frac{120 \times f_e}{P} \quad (3.3)$$

เมื่อ P คือจำนวนโพลของมอเตอร์



รูปที่ 3.3 สเปกตรัมแบบข้างเมื่อเท่าตัวนำโรเตอร์แตกหัก

ในการตรวจจับสัญญาณกระแสเตอเร่อร์ของมอเตอร์ได้ทำการตรวจวัดกระแสไฟฟ้าที่ไนล่อน มอเตอร์ โดยข้อมูลของกระแสไฟฟ้าจะถูกบันทึกโดยใช้ออสซิโลสโคปซึ่งมีอัตราการสุ่ม (Sampling) 2 กิโลเฮิร์ตซ์และได้บันทึกขนาดข้อมูลทั้งหมด 10,000 ข้อมูล ดังนั้นค่าความละเอียดของความถี่ (Frequency resolution) มีค่าเท่ากับ 0.2 เฮิร์ตซ์ซึ่งหาได้จาก

$$\text{ความละเอียดของความถี่} = \frac{f_s}{N} \quad (3.4)$$

โดย f_s คือ ความถี่แซมปลิ่ง (Sampling)

N คือ จำนวนข้อมูล

ขนาดความละเอียดของความถี่เท่ากับ 0.2 เฮิร์ตซ์เพียงพอที่จะคืนพบสาร์โนนิกที่แสดงให้เห็นถึงความเสียหายที่เกิดขึ้นกับตัวนำโรเตอร์ของอินดักชั่นมอเตอร์ จากนั้นทำการประมวลผลด้วยโปรแกรมแมทแล็บ (Matlab) และแปลงให้อยู่ในโคเมนความถี่ โดยใช้การแปลงฟูเรียร์แบบเร็ว (Fast Fourier Transform: FFT) เพื่อวิเคราะห์หาสเปกตรัมความผิดปกติของมอเตอร์ที่เกิดขึ้น

มอเตอร์ที่ใช้ในการวิจัย และชุดอุปกรณ์ที่ใช้ในการทดลองเมื่อเบริ่งเสียหาย

มอเตอร์ที่นำมาใช้ในการทดลอง คือ อินดักชั่นมอเตอร์ 3 เฟส ส่วนของรายละเอียดของมอเตอร์แสดงในตาราง 3.2 โดยโครงสร้างของอินดักชั่นมอเตอร์ 3 เฟส แสดงในรูปที่ 3.4

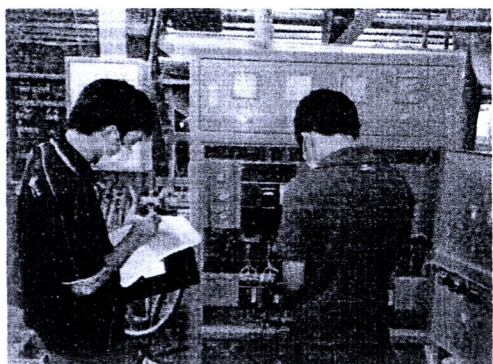
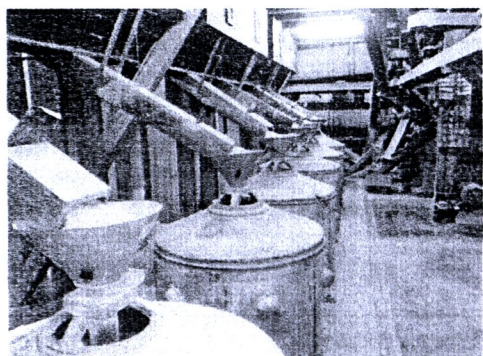
ตาราง 3.2 แสดงรายละเอียดตามแบบเพลทของอินดักชั่นมอเตอร์ที่ใช้ในการทดลอง

พิกัดกำลัง	แรงดัน	กระแส	ความเร็วรอบ	จำนวนโพล	เบอร์ของเบริ่ง	
					ด้านหน้า	ด้านหลัง
(W)	(V)	(A)	(rpm)			
400	220/380	2.00/1.15	1410	4	6202 ZZ	6201 ZZ



รูปที่3.4 โครงสร้างของอินดักชันมอเตอร์ 3 เฟส a) สเตเตอร์ b) โรเตอร์

ในส่วนของการทดลองเพื่อตรวจสอบความเสียหายของแบร์ริง มีอุปกรณ์ที่สำคัญ คือหม้อแปลงกระแส (Current Transformer), เครื่องวัดความเร็วรอบ (Hand Tachometer), คอมพิวเตอร์ (Computer), แคลปป์มิเตอร์ (Clamp Meter), อุปกรณ์ป้องกันเสียง (Sound Shield), อุปกรณ์รับสัญญาณกระแส (NI-9215), ไมโครโฟน (Microphone) การเก็บข้อมูลได้ดำเนินการกับ เครื่องสีขาว ดังแสดงในรูปที่3.5

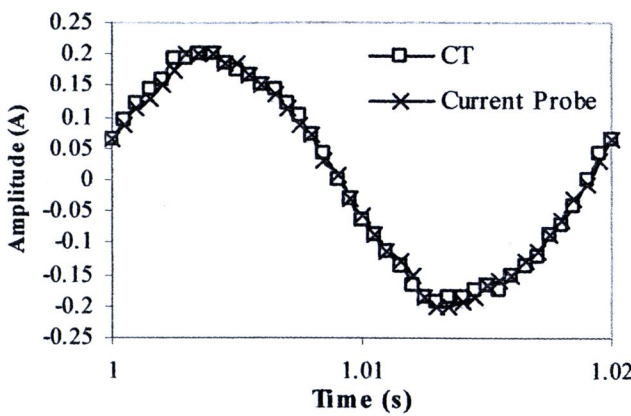


a)

b)

รูปที่3.5 การเก็บข้อมูลในกระบวนการสีขาว a) เครื่องสีขาวที่เลือกทดสอบ b) ขณะทำการเก็บข้อมูล

การตรวจสอบความถูกต้องของสัญญาณกระแสจากหม้อแปลงกระแส ทำได้โดยการวัดเปรียบเทียบกับไฟรับวัดกระแส ดังรูปที่3.6แสดงการเปรียบเทียบสัญญาณกระแสสเตเตอเร่เฟส A จากเครื่องมือวัดทั้ง 2 ชนิด เมื่อมอเตอร์ทำงานสภาวะไร้โหลด พบว่า สัญญาณกระแสสเตเตอเร่จากหม้อแปลงกระแสให้ค่าใกล้เคียงกับสัญญาณกระแสสเตเตอเร่จากไฟรับวัดกระแส ดังนี้สัญญาณกระแสสเตเตอเร่จากหม้อแปลงกระแสจึงมีความน่าเชื่อถือในการใช้ตรวจสอบความผิดปกติ



รูปที่ 3.6 การเปรียบเทียบสัญญาณกระแสจากเครื่องมือวัด

การวิเคราะห์ความผิดปกติเมื่อแบร์จีเสียหายด้วยกระแสเตอเร่

การทดลองการตรวจจับความเสียหายของแบร์จีในมอเตอร์อินดักชันที่ใช้ในกระบวนการผลิตข้าวใช้วิธีการวิเคราะห์สัญญาณกระแส (Motor Current Signature Analysis, MCSA) กล่าวคือเมื่อเกิดกรณีแบร์จีเสียหาย ส่งผลให้เกิดการเปลี่ยนแปลงของกระแสเตอเร่ที่ความถี่ตามสมการ (3.5) ซึ่งสเปกตรัมที่เกิดขึ้นนี้จะขึ้นอยู่กับโครงสร้างของแบร์จี และความเร็วรอบของอินดักชันมอเตอร์ จากความถี่ที่ปรากฏในกระแสเตอเร่สามารถใช้ตรวจสอบความเสียหายของแบร์จี และสามารถบ่งบอกชนิดของความเสียหายที่เกิดขึ้น ซึ่งช่วยในการตัดสินใจในการซ่อมบำรุงรักษาที่ถูกวิธี [12, 13, 14, 15, 16, 17, 18]

$$f_{bf} = |f_e \pm kf_v| \quad (3.5)$$

เมื่อ f_{bf} คือ ความถี่ที่เกิดจากความเสียหายของแบร์จี, f_e คือ ความถี่ของแหล่งจ่าย, f_v คือ ความถี่ของชนิดความเสียหาย ตามสมการ (3.6)-(3.7) และ $k = 1, 2, 3, \dots$

งานวิจัยนี้ได้ศึกษากรณีความเสียหายของแบร์จี 3 กรณี คือความเสียหายเนื่องจากองลื่นด้านนอก (Outer Raceway) และความเสียหายเนื่องจากโครงขีดลูกปืน (Cage) และความเสียหายเนื่องจากกัดกร่อน (Corrosion) สามารถหาความถี่ของชนิดความเสียหายดังนี้

ความเสียหายเนื่องจากองลื่นด้านนอก (Outer Raceway):

$$f_o = \frac{N_b}{2} f_r \left(1 - \frac{D_b}{D_c} \cos \beta \right) \quad (3.6)$$

ความเสียหายเนื่องจากโครงยึดลูกปืน (Cage):

$$f_c = \frac{1}{2} f_r \left(1 - \frac{D_b}{D_c} \cos \beta \right) \quad (3.7)$$

เมื่อ f_r คือ ความเร็วรอบของโรเตอร์ (รอบ/วินาที), N_b คือ จำนวนลูกปืน (Ball) ของ แบร์จที่ใช้ในการทดลอง, D_b คือ เส้นผ่านศูนย์กลางของลูกปืน (Ball Diameter: mm) D_c คือ เส้นผ่านศูนย์กลาง ระยะพิชของลูกปืน (Bearing Pitch Diameter: mm) และ β คือมุมสัมผัสของลูกปืน (Contact Angle: Degrees) โครงสร้างของแบร์จที่นำมาใช้ในการทดลองในห้องปฏิบัติการแสดงดังรูปที่ 3.7 และขนาด พารามิเตอร์ต่างๆ ของแบร์จทั้ง 2 ชนิด แสดงดังตาราง 3.3



a)



b)



รูปที่ 3.7 โครงสร้างของแบร์จที่ใช้ในการทดลอง a) 6202 ZZ b) 6201 ZZ

ตาราง 3.3 แสดงขนาดพารามิเตอร์ของแบร์จทั้ง 2 ชนิด

Parameter	Value	
	6202 ZZ	6201 ZZ
Number of balls (N_b)	8	7
Ball diameter (D_b) (mm)	6	5.6
Bearing pitch diameter (D_c) (mm)	25.3	22.3
Contact angle (degrees)	0	0

ตาราง 3.4 แสดงความถี่ที่เกิดขึ้นจากกระแสสเตเตอร์เมื่อแบร์จเสียหาย 2 กรณี คือความเสียหาย เนื่องจากรองลื่นด้านนอก (Outer Raceway) และความเสียหายเนื่องจากโครงยึดลูกปืน (Cage) โดยสภาพ ความเสียหายที่เกิดขึ้น 2 กรณีจะปรากฏความถี่ขึ้นที่กระแสสเตเตอร์แตกต่างกัน และความถี่ที่ปรากฏขึ้นที่กระแสสเตเตอร์ขึ้นอยู่กับความเร็วรอบของอินดักชั่นมอเตอร์ และขนาดของแบร์จของอินดักชั่นมอเตอร์ ด้วย

ตาราง 3.4 แสดงความถี่ที่เกิดขึ้นจากการกระแสเตอร์เมื่อแบร์จสีบ้ายสภาพต่างๆ

Defective	Effect on stator current (Hz)			
	6202 ZZ		6201 ZZ	
Condition	k=1	k=2	k=1	k=2
Outer race	$ 50 \pm 3.05 f_r $	$ 50 \pm 6.1 f_r $	$ 50 \pm 2.62 f_r $	$ 50 \pm 5.24 f_r $
Cage	$ 50 \pm 0.38 f_r $	$ 50 \pm 0.76 f_r $	$ 50 \pm 0.37 f_r $	$ 50 \pm 0.74 f_r $

ในการตรวจจับสัญญาณกระแสเตอร์ของมอเตอร์ได้ทำการตรวจวัดกระแสไฟฟ้าที่ไนล่อนมอเตอร์ โดยข้อมูลของกระแสไฟฟ้าจะถูกบันทึกโดย NI-9215 ซึ่งมีอัตราการสุ่ม (Sampling) 10 กิโล เฮิร์ทซ์และได้บันทึกขนาดข้อมูลทั้งหมด 100,000 ข้อมูล ดังนั้นค่าความละเอียดของความถี่ (Frequency - resolution) มีค่าเท่ากับ 1 เฮิร์ทซ์ซึ่งหาได้จาก

$$\text{ความละเอียดของความถี่} = \frac{f_s}{N} \quad (3.8)$$

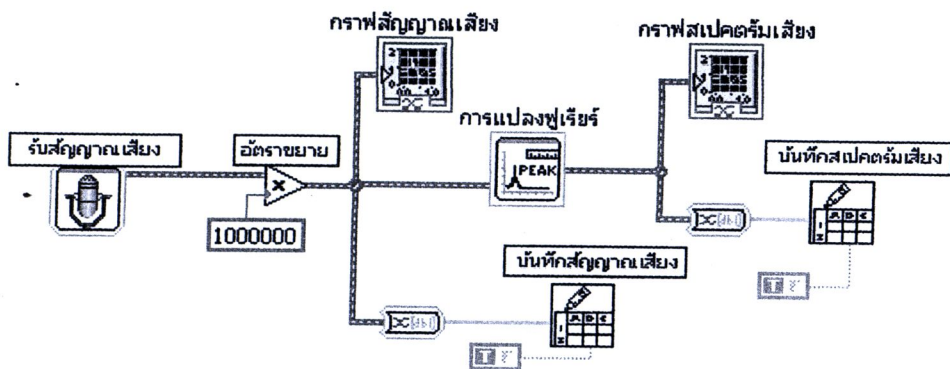
โดย f_s คือ ความถี่แซมป์ลิ่ง (Sampling)

N คือ จำนวนข้อมูล

ขนาดความละเอียดของความถี่เท่ากับ 1 เฮิร์ทซ์เพียงพอที่จะคืนพบราร์โนนิกที่แสดงให้เห็นถึงความเสียหายที่เกิดขึ้นกับแบร์จ จากนั้นทำการประมวลผลด้วยโปรแกรมแมทแล็บ (MatLab) และแปลงให้อยู่ในโคเมนความถี่ โดยใช้การแปลงฟูเรียร์แบบเร็ว (Fast Fourier Transform: FFT) เพื่อวิเคราะห์หาสเปกตรัมความผิดปกติของมอเตอร์ที่เกิดขึ้น

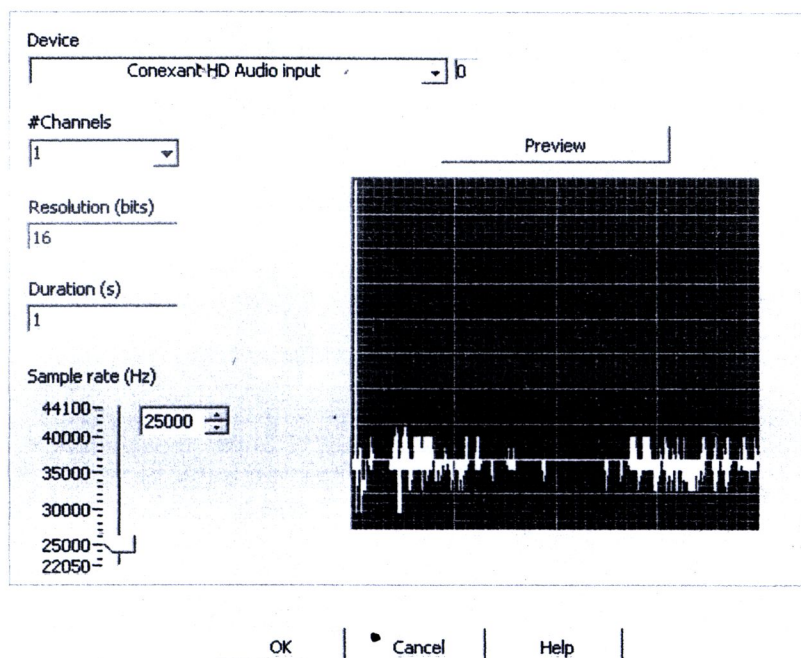
การวิเคราะห์ความผิดปกติเมื่อแบร์จสีบ้ายด้วยสัญญาณเสียง

เมื่ออินดักชั่นมอเตอร์เกิดความเสียหายบริเวณแบร์จจะส่งผลกระทบออกมายในรูปแบบต่างๆ เช่น สาร์โนนิกกระแสเตอร์ การสั่นสะเทือน และสัญญาณเสียง โดยสัญญาณเสียงที่เกิดขึ้นจะปรากฏออกมานี้เองจากแบร์จ ได้รับการเสียดสีตลอดเวลาขณะทำงาน เมื่อเกิดความเสียหายกรณีต่างๆ กับแบร์จของอินดักชั่นมอเตอร์ส่งผลให้ลูกปืน (Ball) เคลื่อนที่ผิดปกติ และส่งสัญญาณออกมายในรูปแบบเสียงที่ความถี่ต่างๆ ซึ่งสามารถนำแนวโน้มจัดการความเสียหายที่เกิดขึ้นได้

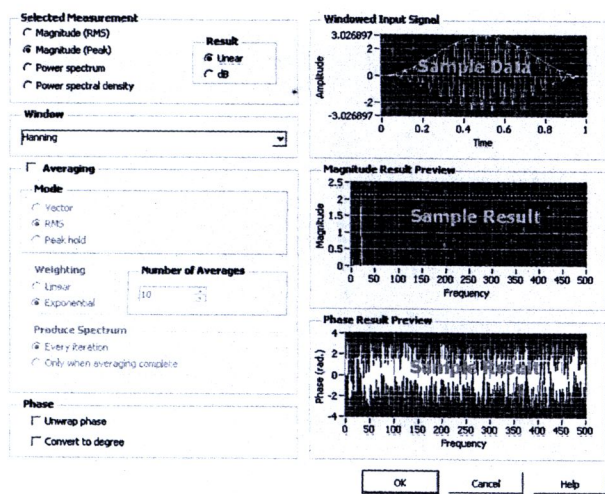


รูปที่ 3.8 แสดงการเขียนโปรแกรมแลปวิวสำหรับรับสัญญาณเสียง

รูปที่ 3.8 แสดงการเขียนโปรแกรมแลปวิว (LabView) สำหรับรับสัญญาณเสียงที่เกิดขึ้นเนื่องจากความเสียหายของแบร์ง กำหนดอัตราสูง 25 กิโลเฮิร์ตซ์ผ่านอัตราขยาย 1 ล้านเท่า เนื่องจากขนาดของสัญญาณเสียงมีค่าต่ำ และแปลงสัญญาณเสียงให้อยู่ในโดเมนความถี่ใช้การแปลงฟูเรียร์แบบเร็ว ซึ่งค่าความละเอียดของความถี่ (Frequency resolution) มีค่าเท่ากับ 1 เฮิร์ตซ์ รูปที่ 3.9 และ รูปที่ 3.10 แสดงการปรับค่าของอุปกรณ์รับสัญญาณเสียง และการปรับค่าการแปลงฟูเรียร์แบบเร็ว ตามลำดับ



รูปที่ 3.9 แสดงการปรับค่าของอุปกรณ์รับสัญญาณเสียง

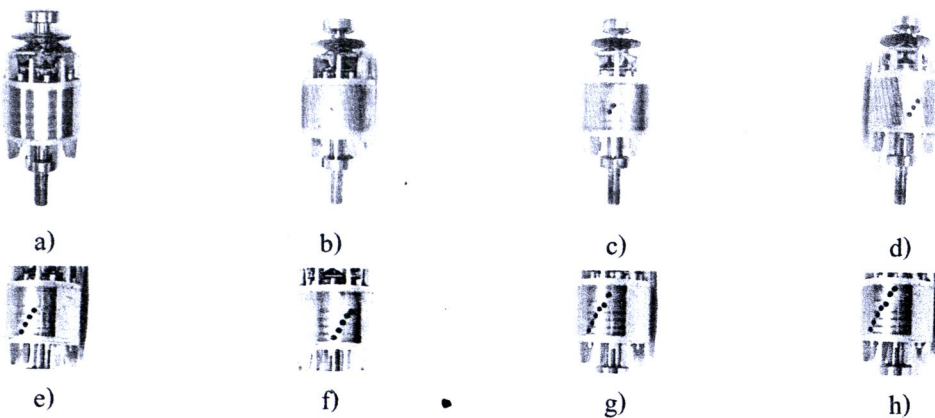


รูปที่3.10แสดงการปรับค่าการแปลงฟrequir์แบบเริ่ว

ผลการทดลอง

1.ผลการทดลองเมื่อตัวนำโรเตอร์แตก

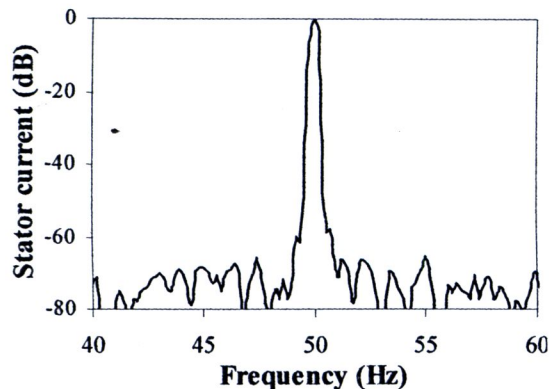
ผลการทดลองเมื่อตัวนำโรเตอร์แตก พิจารณาอินดักชั่นモเตอร์ 1 เฟส เนื่องจากในการทดลองมีความสะดวกในการตรวจกระแสสเตเตอร์โดยสามารถวัดค่ากระแส สเตเตอร์เพียง 1 เฟสเพื่อแสดงผลการทดลองที่เกิดขึ้น โดยทั่วไปหลักการทำงานของอินดักชั่นโมเตอร์ 1 เฟส และอินดักชั่นโมเตอร์ 3 เฟสมีลักษณะการทำงานที่เหมือนกัน ดังนั้นผลที่เกิดขึ้นกับอินดักชั่นโมเตอร์ 1 เฟส จะให้ผลที่ใกล้เคียงกับอินดักชั่นโมเตอร์ 3 เฟสด้วย รูปที่3.11 แสดงโรเตอร์ของอินดักชั่น 1 เฟสที่ใช้ในการทดลอง



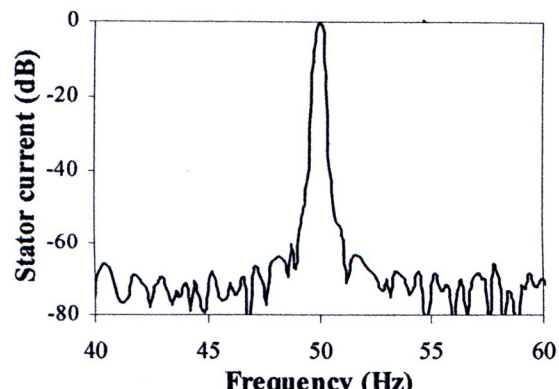
รูปที่3.11 โรเตอร์ของอินดักชั่นโมเตอร์ 1 เฟส ที่ใช้ในการทดลอง a) โรเตอร์ปกติ b) 1 ตัวนำแตก c) 2 ตัวนำแตก d) 3 ตัวนำแตก e) 4 ตัวนำแตก f) 5 ตัวนำแตก g) 6 ตัวนำแตก h) 7 ตัวนำแตก

ผลการทดลองสเปคตรัมกระแสสเตเตอร์

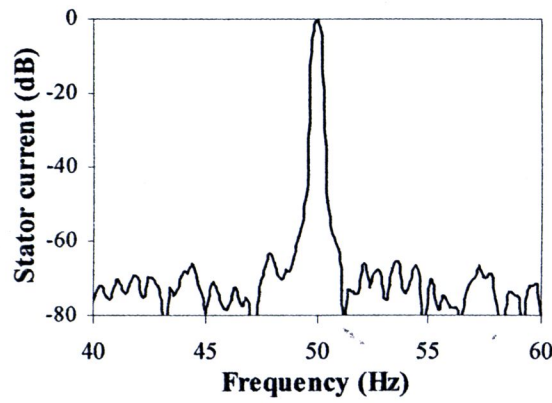
โรเตอร์ปกติ



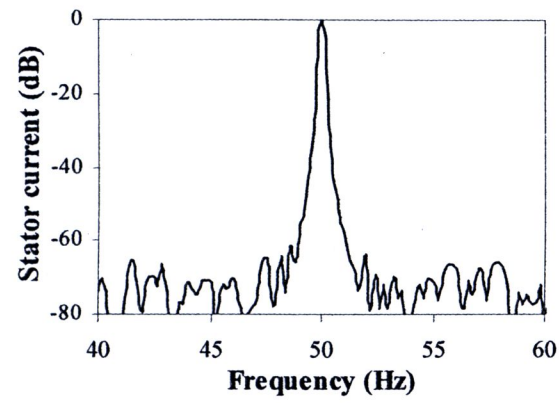
ສກາວະໄວ້ໂລດ



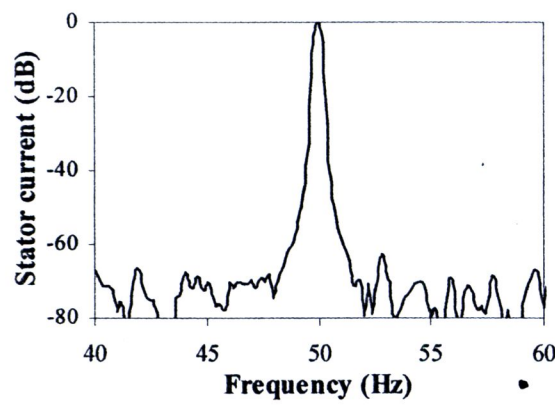
ໂຫລດ 10%



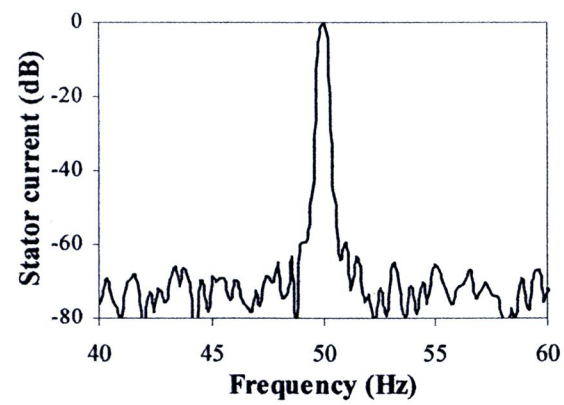
ໂຫລດ 20%



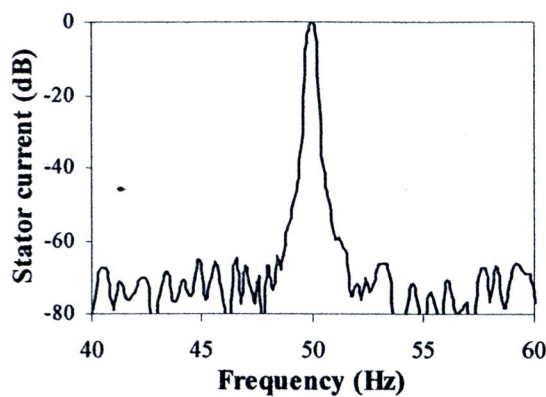
ໂຫລດ 30%



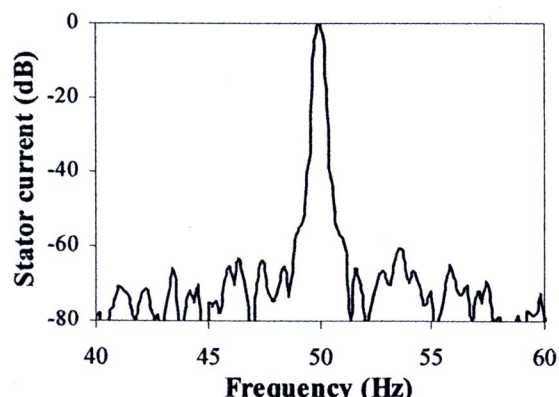
ໂຫລດ 40%



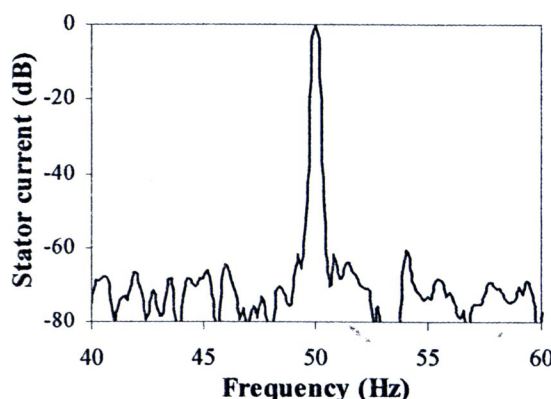
ໂຫລດ 50%



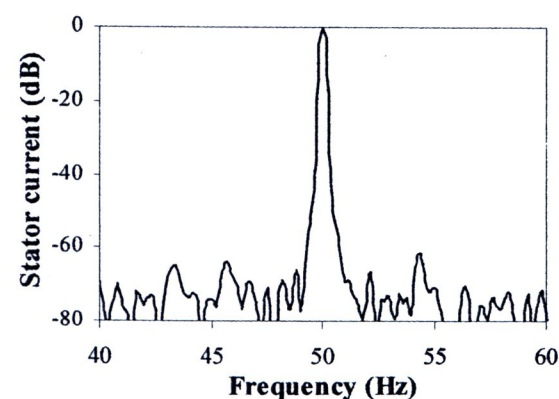
ໂທລດ 60%



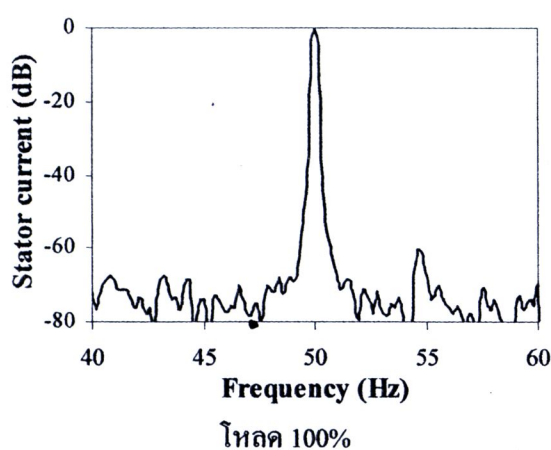
ໂທລດ 70%



ໂທລດ 80%

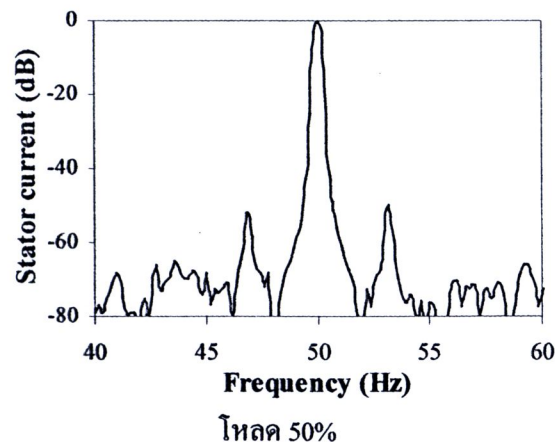
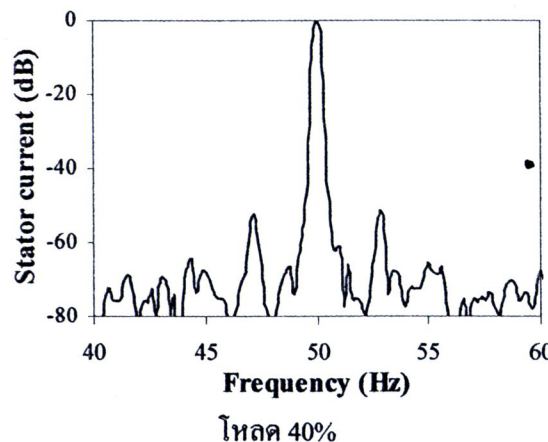
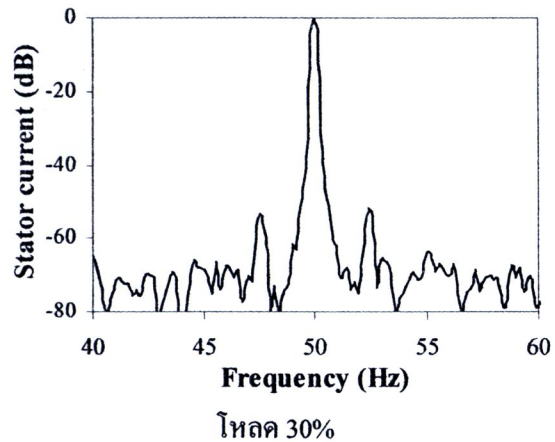
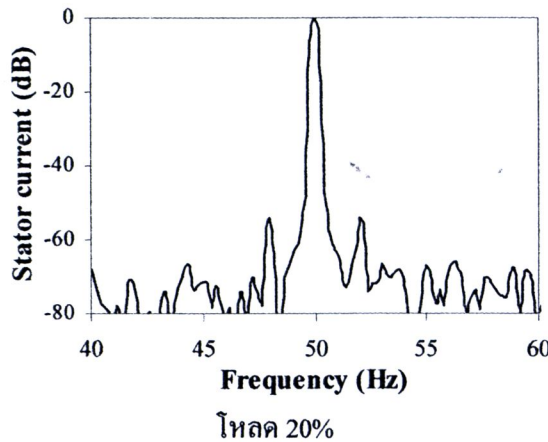
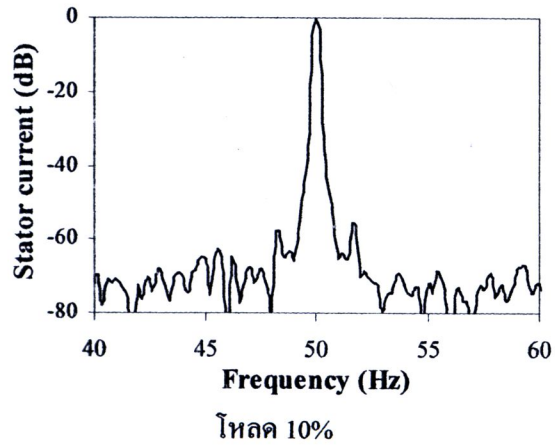
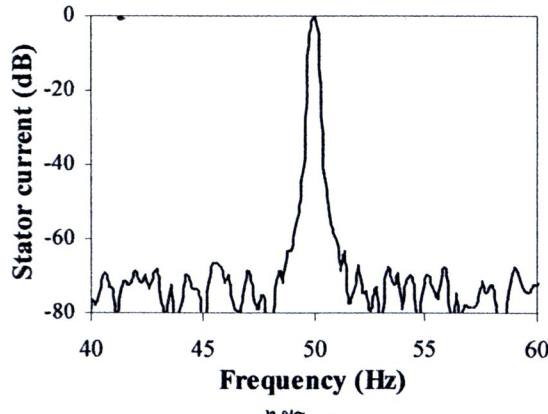


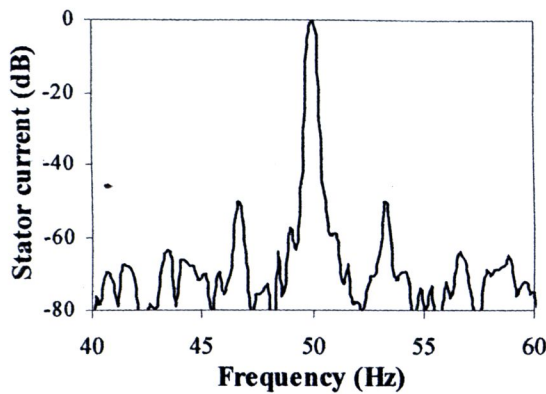
ໂທລດ 90%



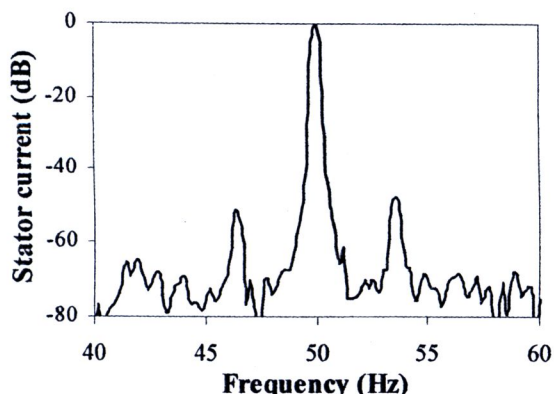
ຮູບທີ 3.12ສະເປດຮັມກະຮະແສສາເຕເຕອຣ໌ສກາວະໄຣເຕອຣປົກທີ ພຶກດ້ໂທລດຕ່າງໆ

1 ตัวนำโรเตอร์แมก

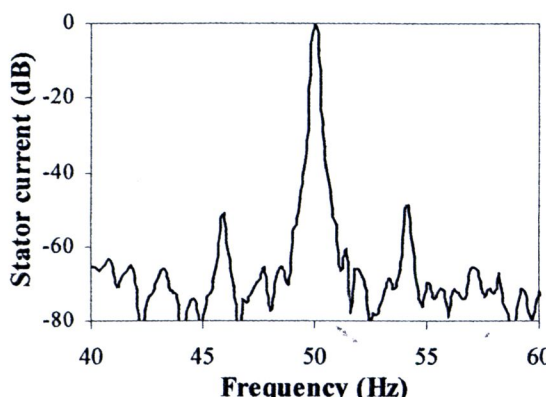




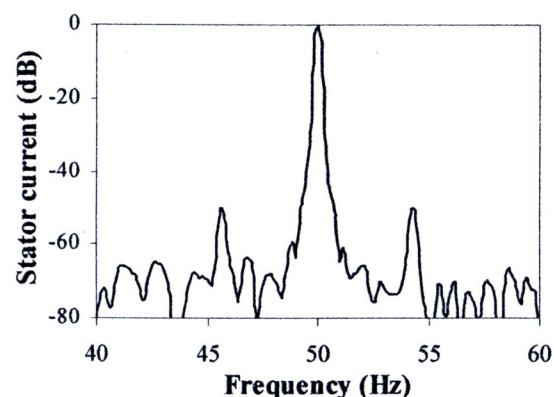
โหลด 60%



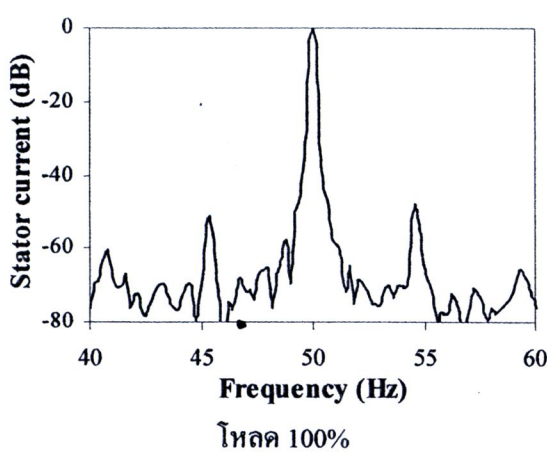
โหลด 70%



โหลด 80%



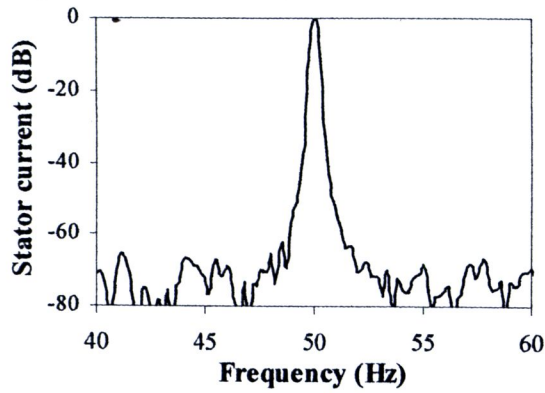
โหลด 90%



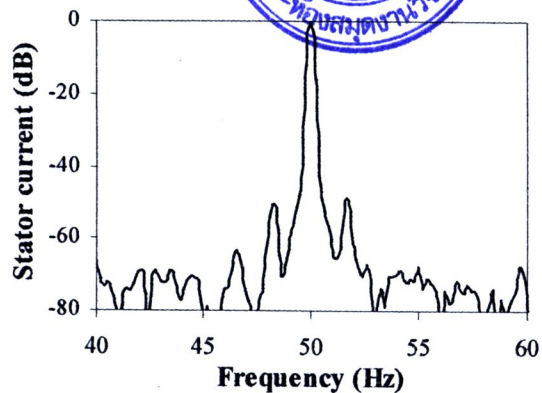
โหลด 100%

รูปที่ 3.13 สเปกตรัมกระแสเตอร์สภาวะ 1 ตัวนำโรเตอร์ແຕກ พิกัดโหลดต่างๆ

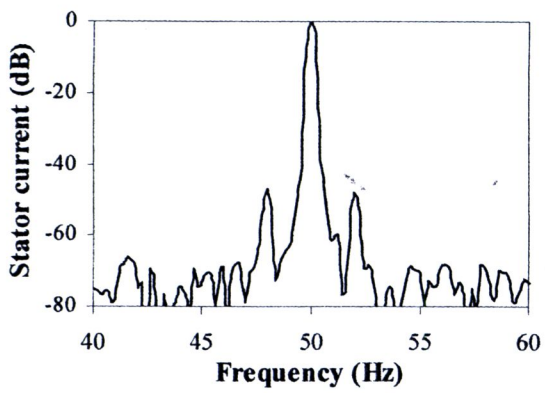
2 ตัวนำโรเตอร์แทก



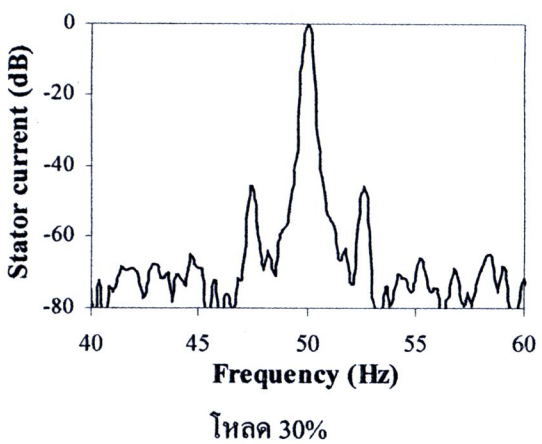
สภาวะ 2 ตัวนำ
ไม่โหลด



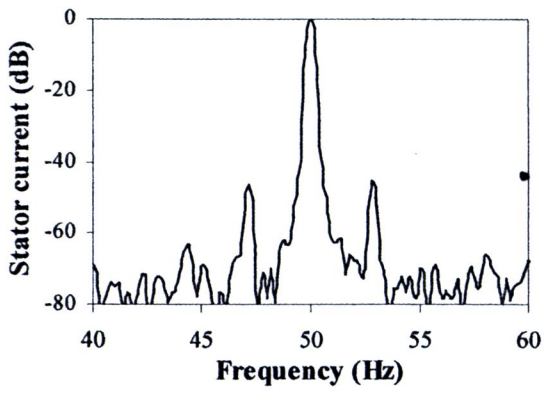
โหลด 10%



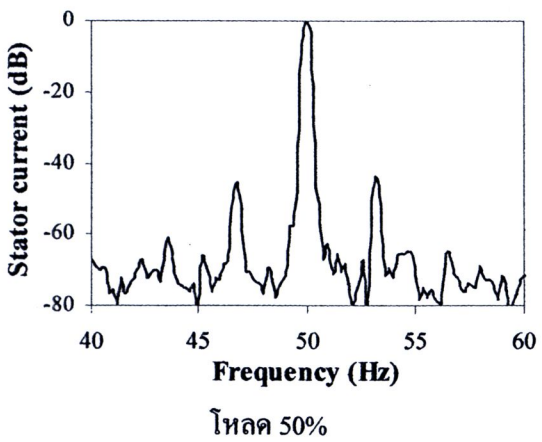
โหลด 20%



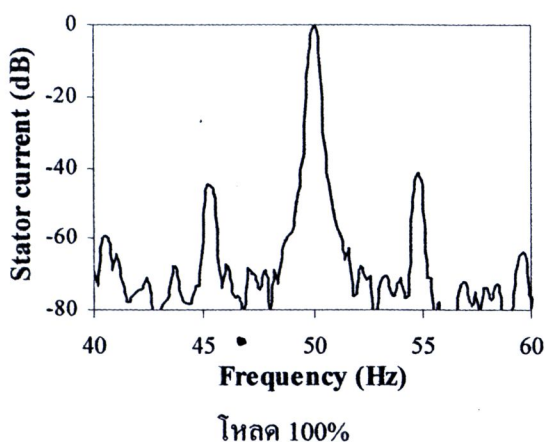
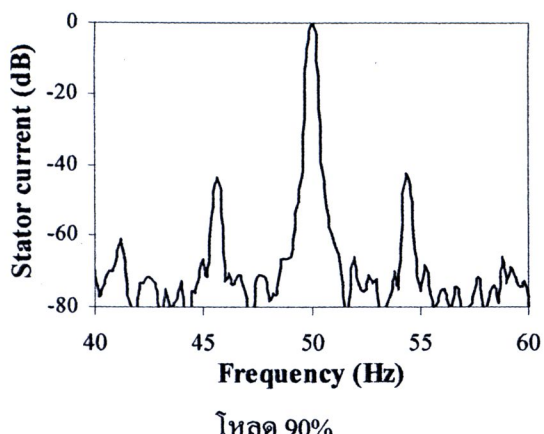
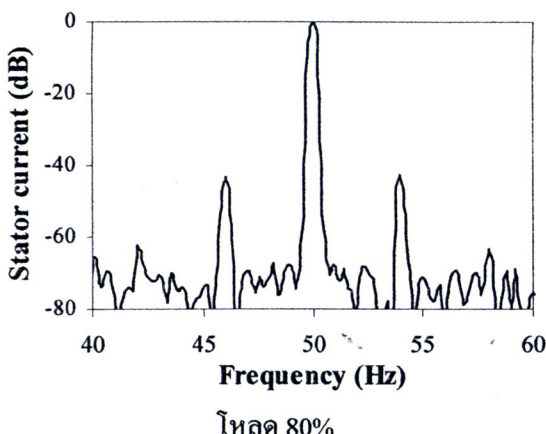
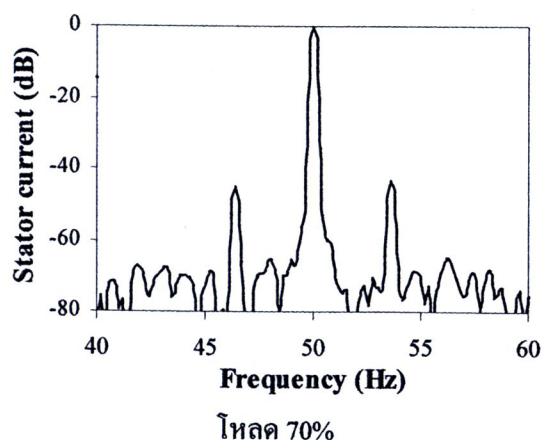
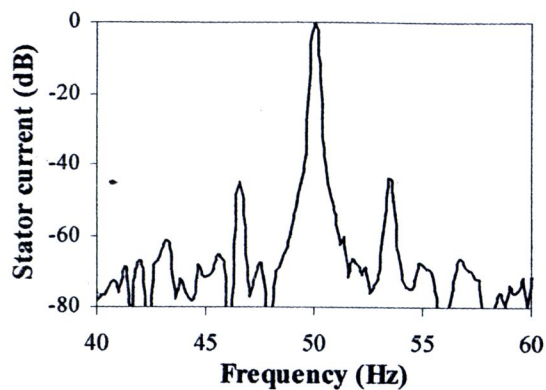
โหลด 30%



โหลด 40%

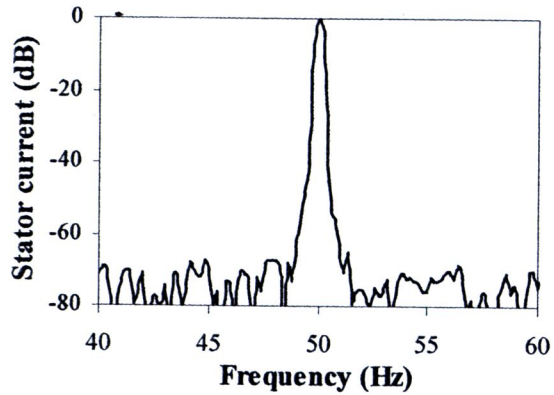


โหลด 50%

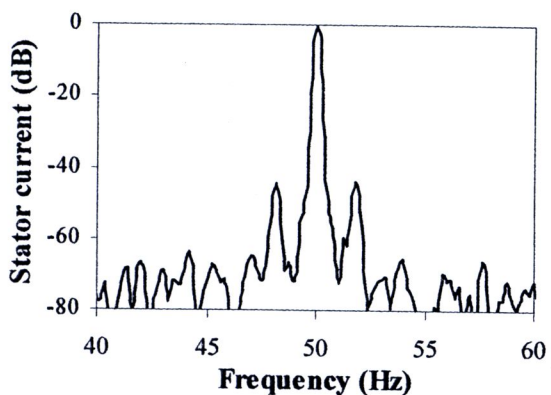


ຮູບທີ 3.14ສເປັດຕົວຮັນກະແສສເຕເຫອຣ໌ສກາວະ 2 ຕ້າວນໍາໄຣເຕອ້ແກພິກັດໂຫລດຕ່າງໆ

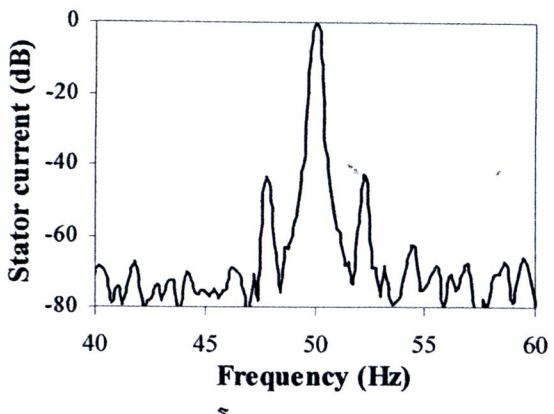
3 คัวนำโรเตอร์แตก



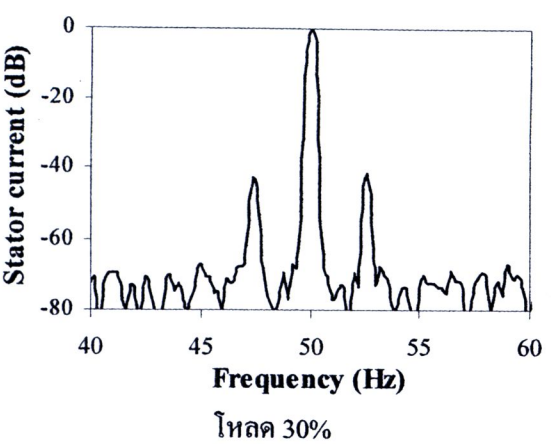
สภาวะ “เริ่ม” โหลด



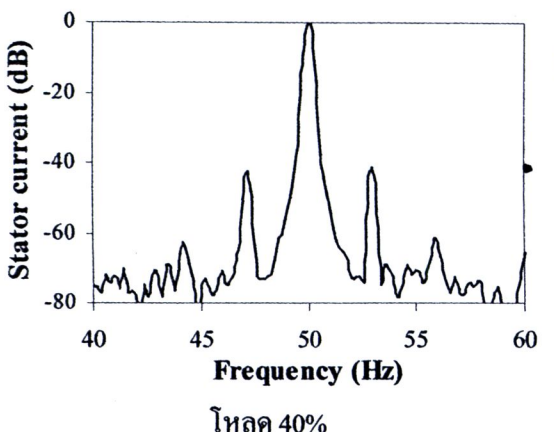
โหลด 10%



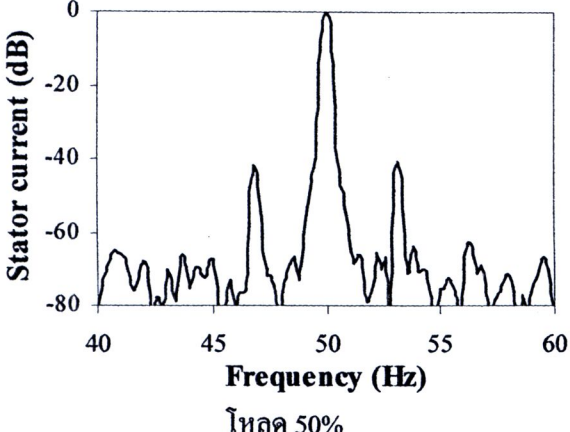
โหลด 20%



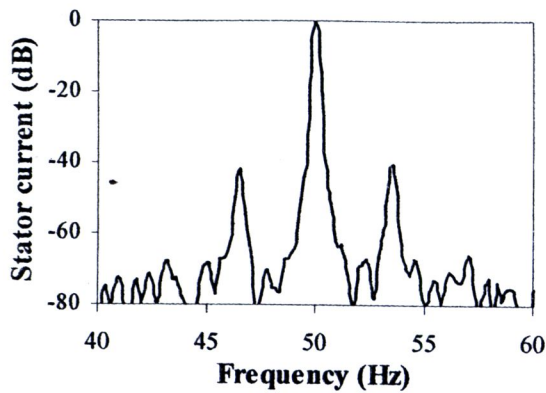
โหลด 30%



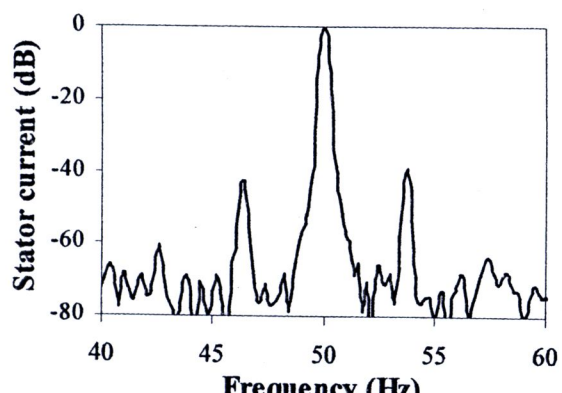
โหลด 40%



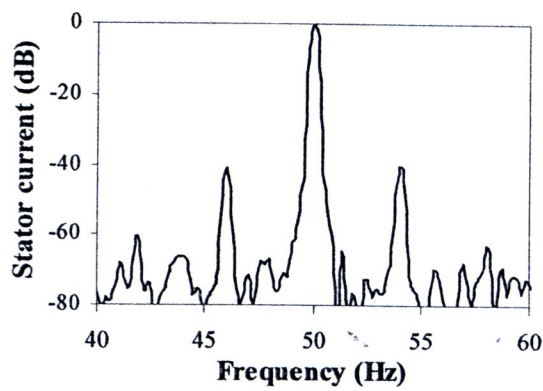
โหลด 50%



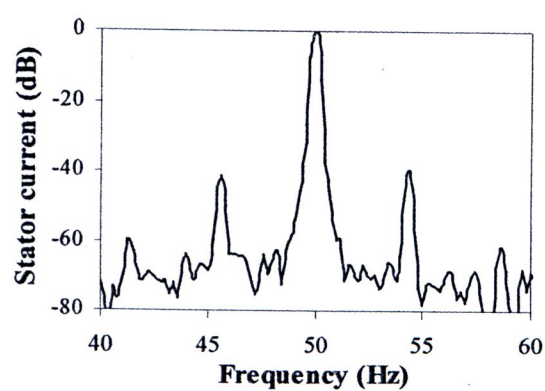
โหลด 60%



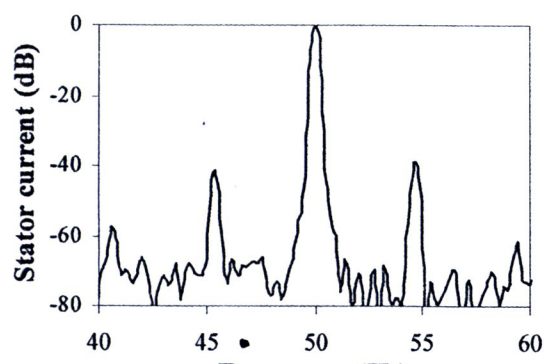
โหลด 70%



โหลด 80%



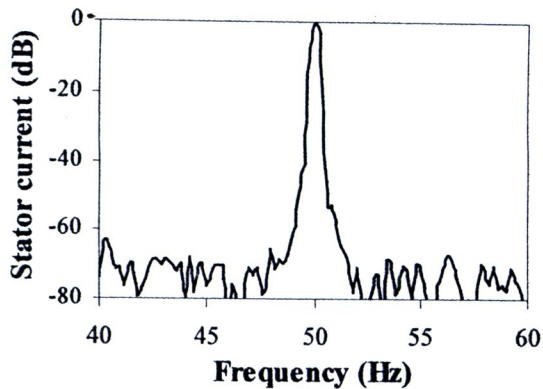
โหลด 90%



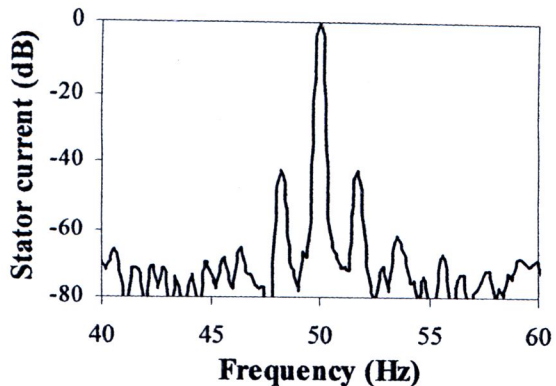
โหลด 100%

รูปที่ 3.15 สเปกตรัมกระแสสเตเตอร์สกาวะ 3 ตัวนำโรเตอร์แทก พิกัดโหลดต่างๆ

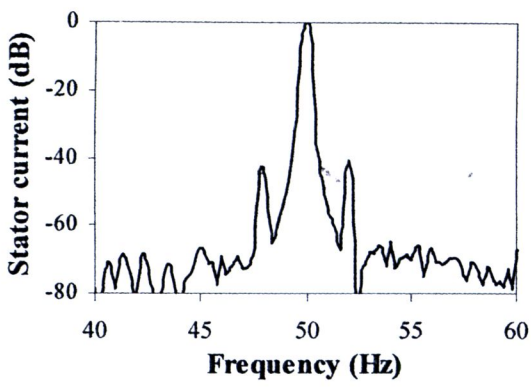
4 ตัวนำโรเตอร์แทก



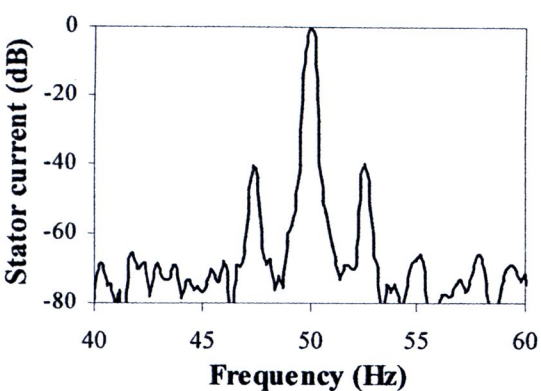
ສກາວະໄຊ້ໂຫລດ



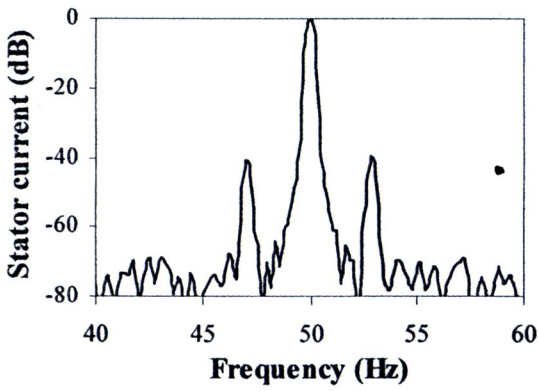
ໂຫລດ 10%



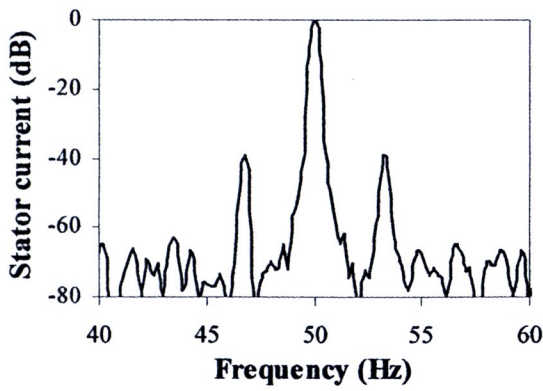
ໂຫລດ 20%



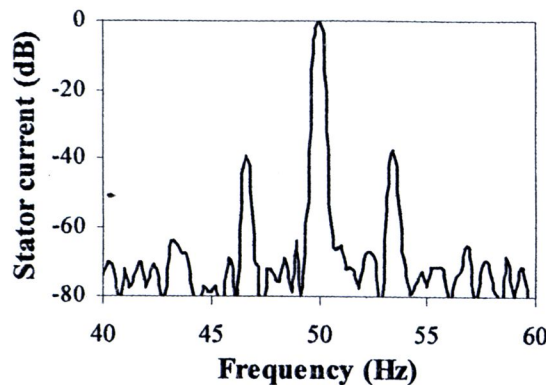
ໂຫລດ 30%



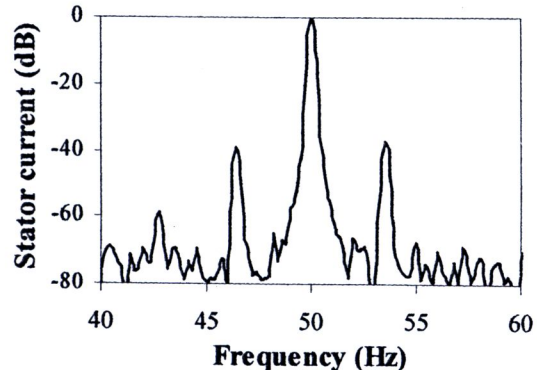
ໂຫລດ 40%



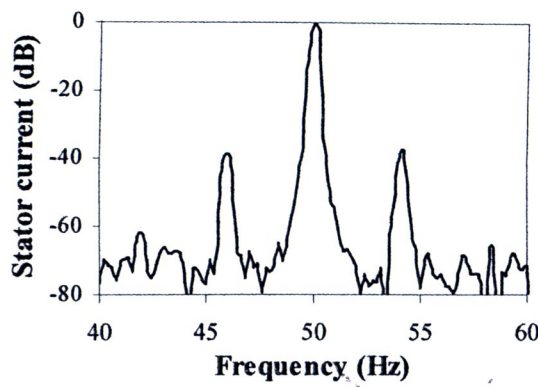
ໂຫລດ 50%



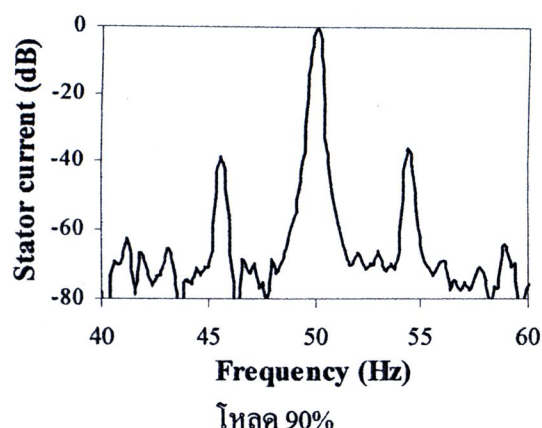
โหลด 60%



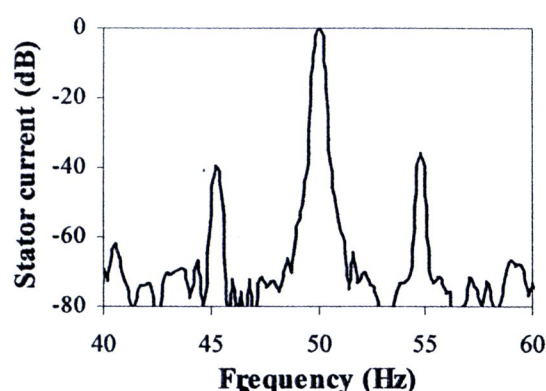
โหลด 70%



โหลด 80%



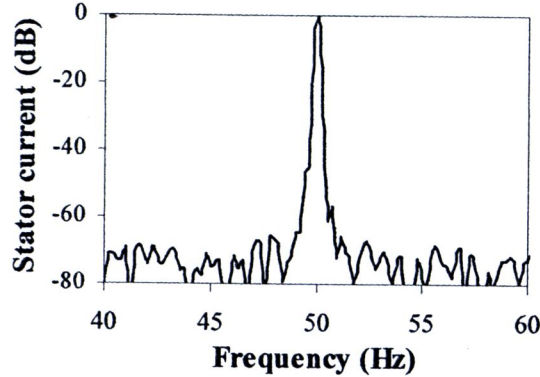
โหลด 90%



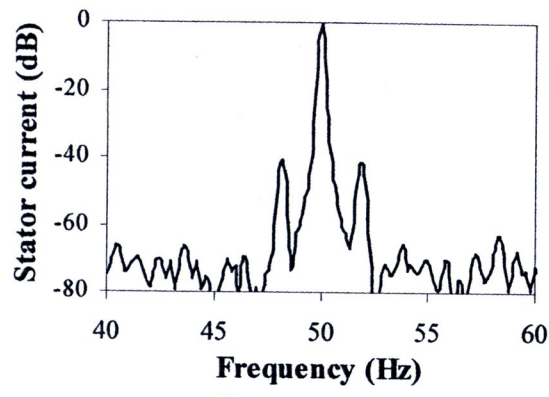
โหลด 100%

รูปที่ 3.16 สเปกตรัมกระแสเตอร์สกาวะ 4 ตัวนำโรเตอร์แทก พิกัดโหลดต่างๆ

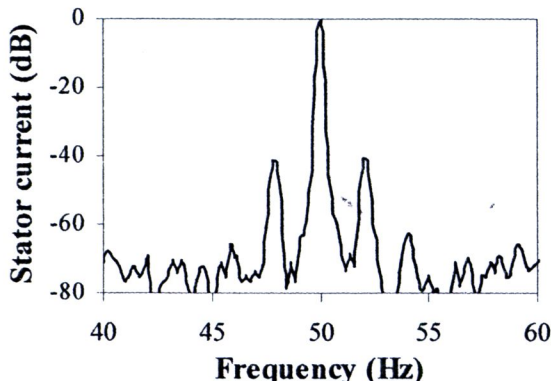
5 ตัวนำโรเตอร์แทก



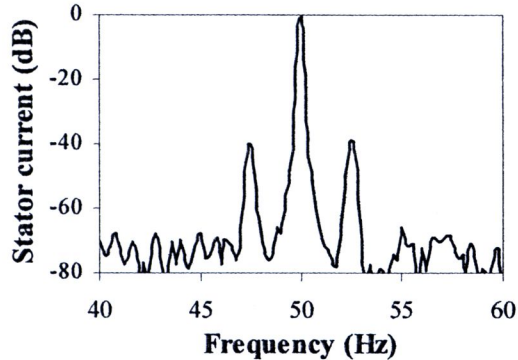
ສກາວະໄຊ້ໂທລດ



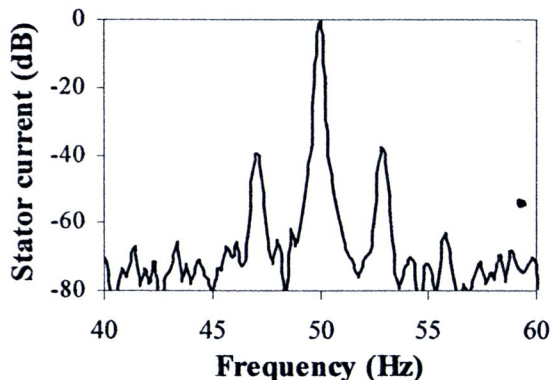
ໂທລດ 10%



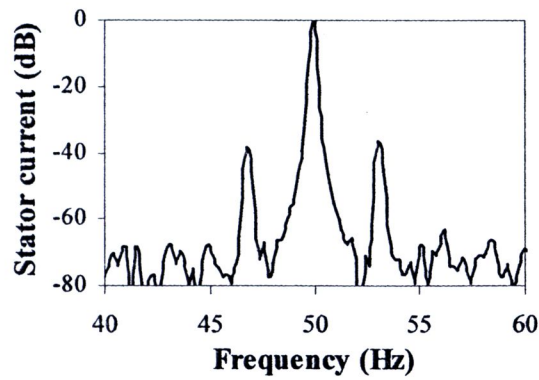
ໂທລດ 20%



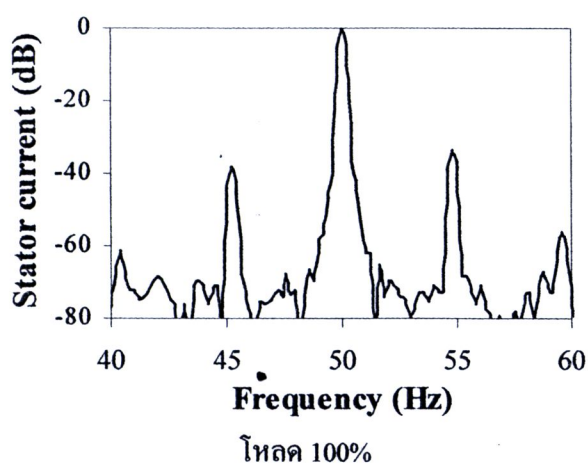
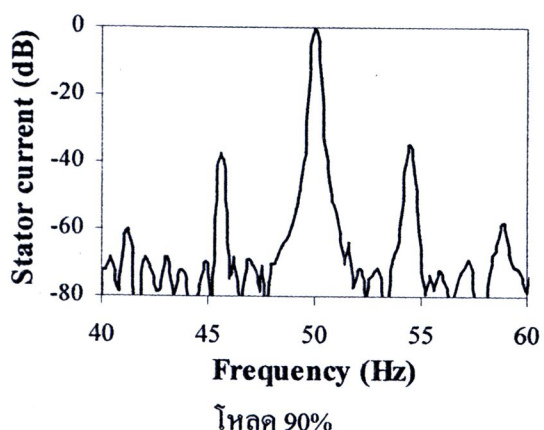
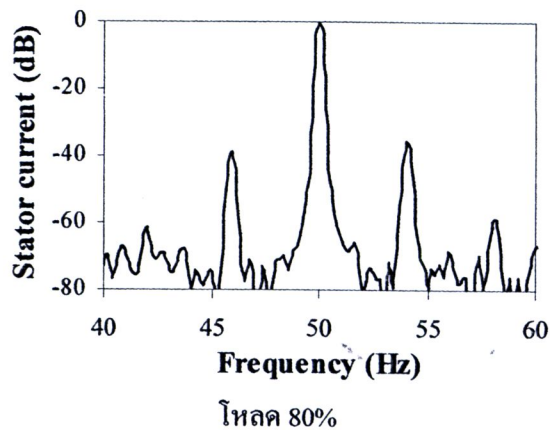
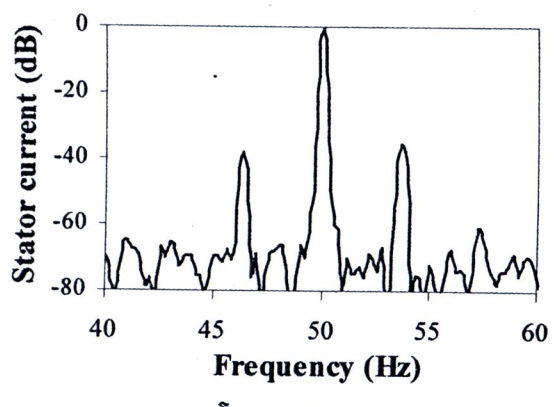
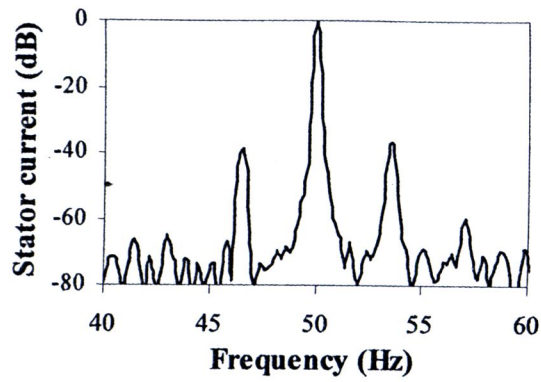
ໂທລດ 30%



ໂທລດ 40%

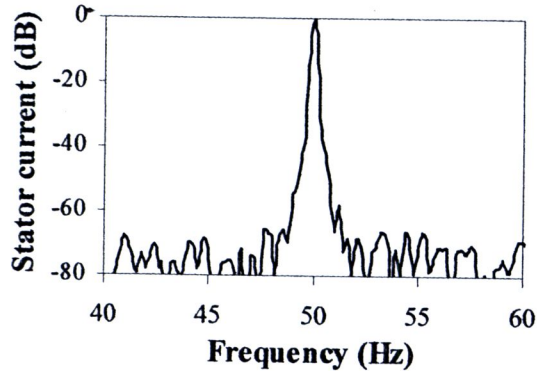


ໂທລດ 50%

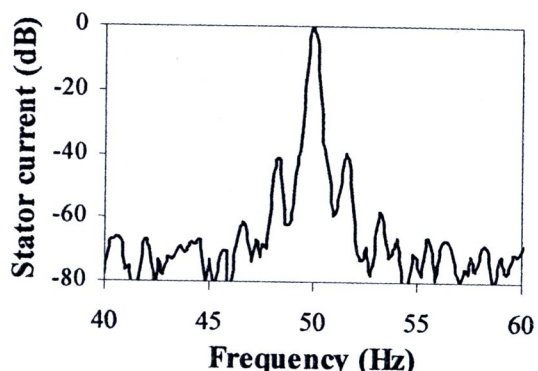


รูปที่ 3.17 สเปกตรัมกระแสเตาเตอร์สกาวะ 5 ตัวนำโรเตอร์แทก พิกัดโหลดต่างๆ

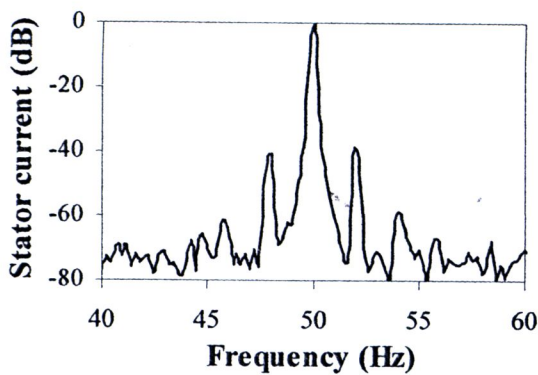
6 គោលការណ៍ទឹក



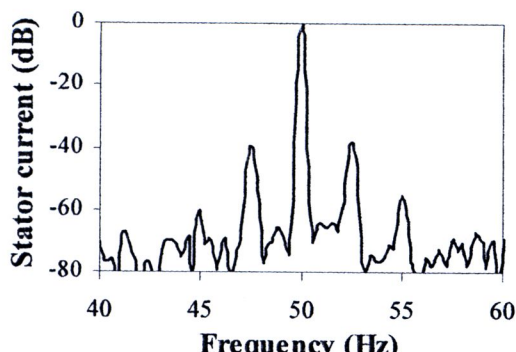
សភាគ នីរវិអូលុត



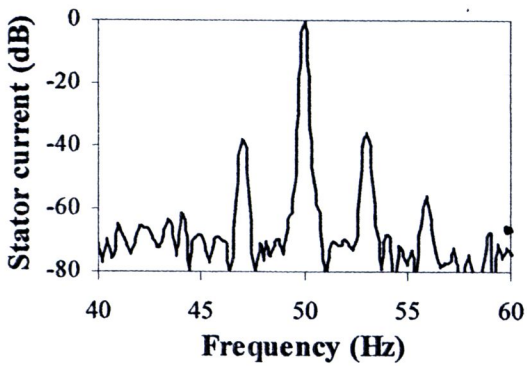
ឲលុត 10%



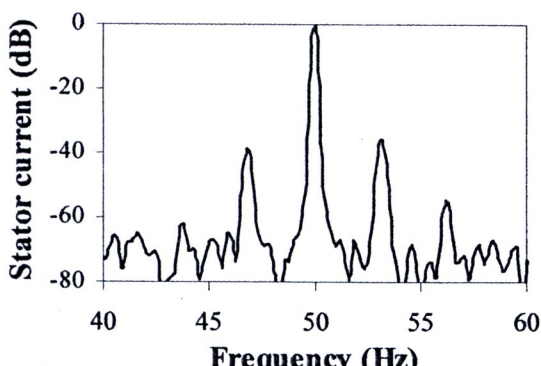
ឲលុត 20%



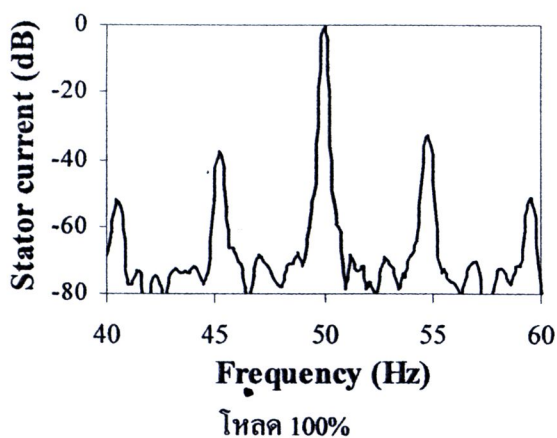
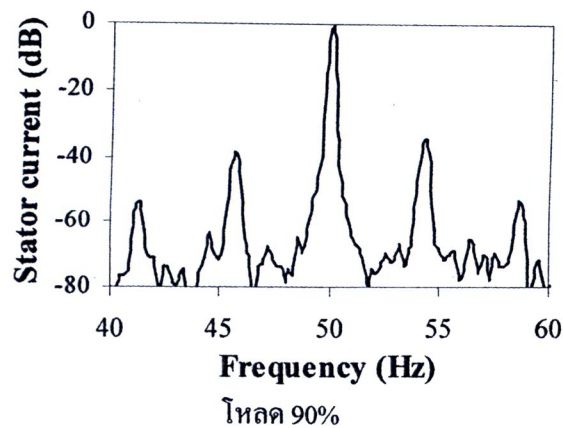
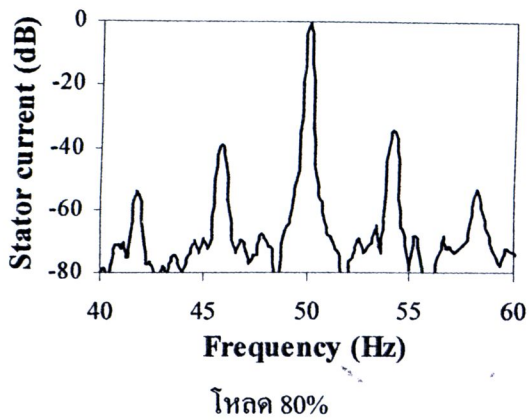
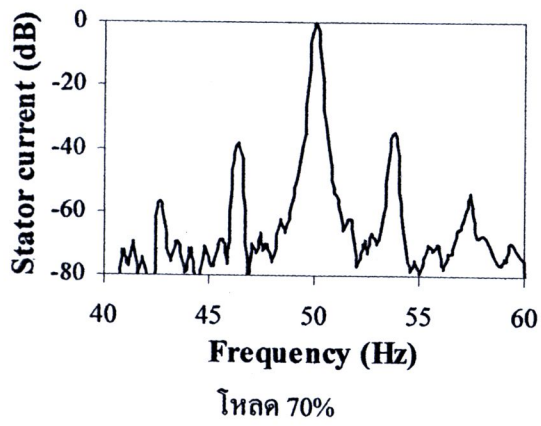
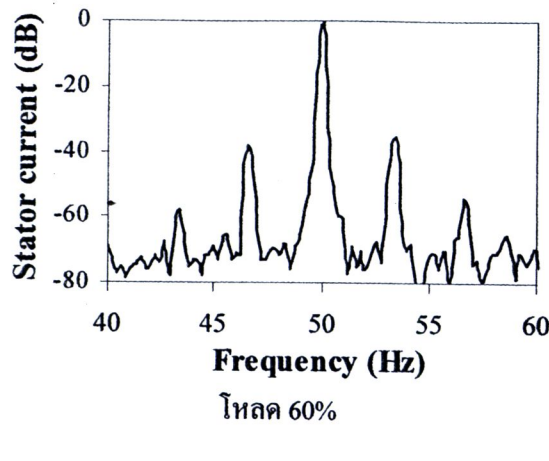
ឲលុត 30%



ឲលុត 40%

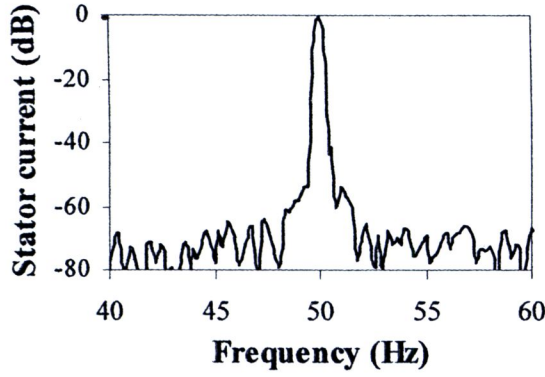


ឲលុត 50%

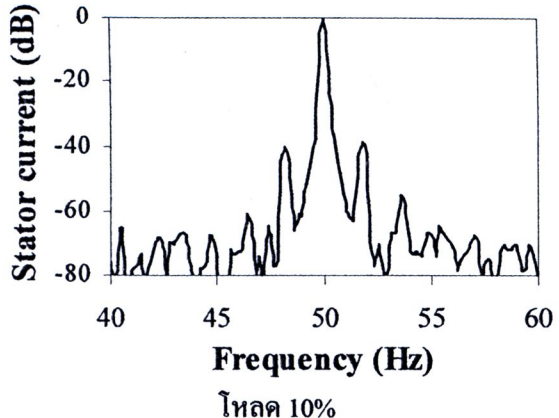


ຮູບພໍ 3.18ສະເປັກຕົວນິກະແສສເຕເຕອຣ໌ສກາວະ 6 ຕັວນຳໂຮເຕອຣ໌ແຕກ ພຶກສັດໂຫລດຕ່າງໆ

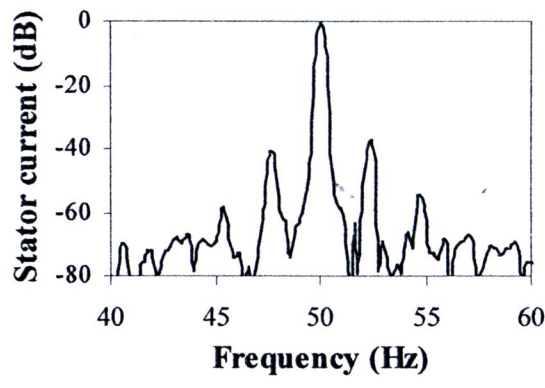
7 ตัวนำโรเตอร์แทก



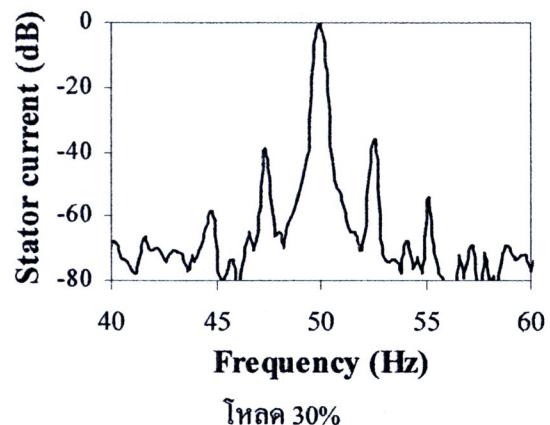
สภาวะไร้โหลด



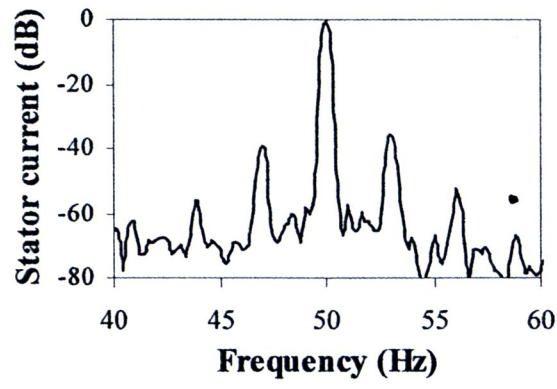
โหลด 10%



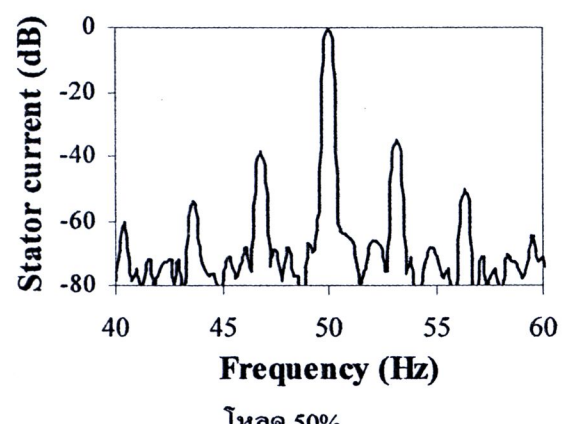
โหลด 20%



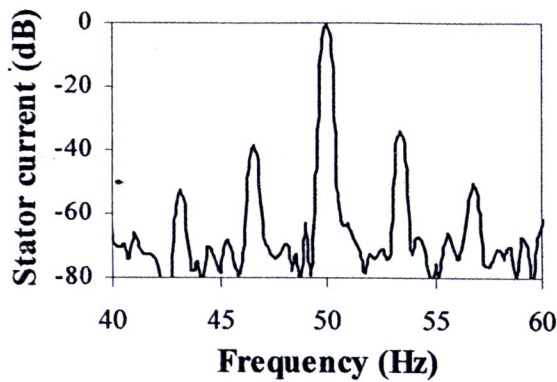
โหลด 30%



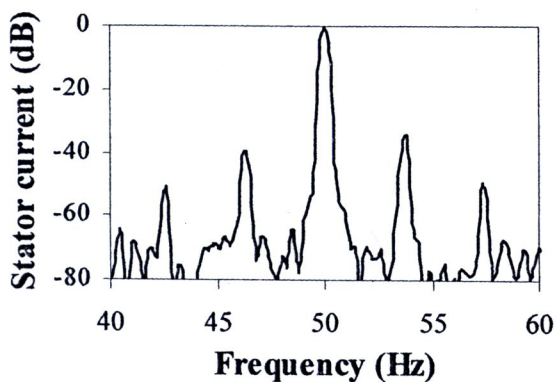
โหลด 40%



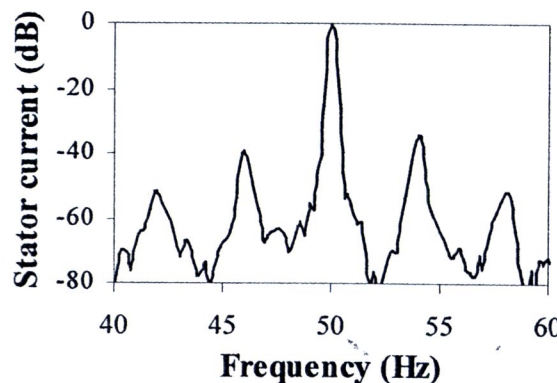
โหลด 50%



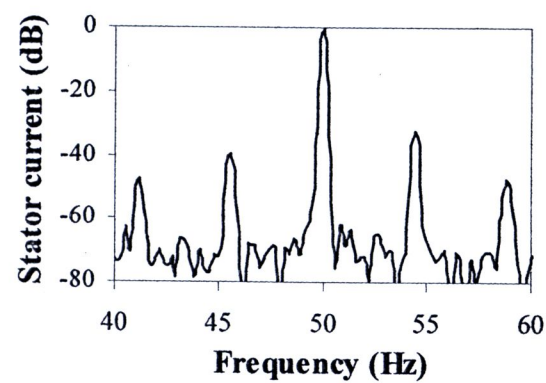
โหลด 60%



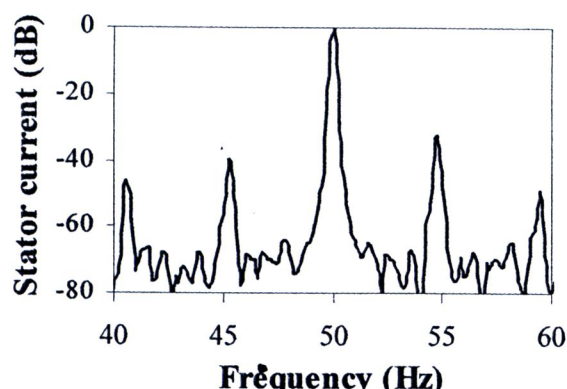
โหลด 70%



โหลด 80%



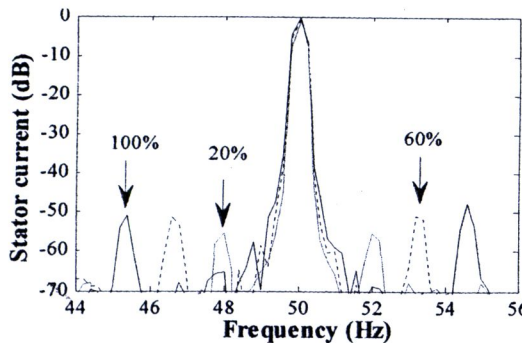
โหลด 90%



โหลด 100%

รูปที่ 3.19 สเปกตรัมกระแสสเตเตอร์สภาวะ 7 ตัวนำโรเตอร์แทรก พิกัดโหลดต่างๆ

จากผลการทดลองสเปกตรัมกระแสเดตเตอร์จากแสดงดังรูปที่ 3.12-3.19แสดงให้เห็นว่าเมื่อมีตัวนำโรเตอร์แตกเกิดขึ้น ผลของสัญญาณกระแสเดตเตอร์จะเกิดการเปลี่ยนแปลงเนื่องจากผลของการเหนี่ยวนำของสนามแม่เหล็กของโรเตอร์ที่ไม่สมมาตรทำให้ปรากฏว่าในนิคเกิลชีนบริเวณรอบความถี่มูลฐานที่ความถี่เท่ากับ $(1-2s)f_e$ (Lower-Sideband, LSB) และ $(1+2s)f_e$ (Upper-Sideband, USB) [6, 7] ผลของสาร์โนนิกที่ปรากฏขึ้นในกระแสเดตเตอร์สามารถใช้ในการตรวจสอบความเสียหายของโรเตอร์ได้จากการตรวจจับสเปกตรัมกระแสเดตเตอร์และพบว่าผลของโคลด์ส่งผลให้ความถี่ของ LSB และ USB เปลี่ยนแปลงเนื่องจาก มอเตอร์ทำงานสภาวะโคลด์ที่สูงขึ้นความเร็วรอบของมอเตอร์จะมีค่าลดลงส่งผลให้ค่าสลิปของมอเตอร์สูงขึ้น จากสมการ $(1-2s)f_e$ คือ (Lower-Sideband, LSB) เมื่อ s มีค่ามากขึ้น ทำให้ความถี่ของ LSB มีค่าลดลง เช่นเดียวกับความถี่ของ USB จากสมการ $(1+2s)f_e$ ส่งผลให้ความถี่ USB มีค่าเพิ่มขึ้น ตามที่แสดงในรูปที่ 3.20คือผลการเปรียบเทียบสเปกตรัมกระแสเดตเตอร์ที่พิกัดโคลด์ต่างๆ



รูปที่ 3.20 การเปรียบเทียบสเปกตรัมกระแสเดตเตอร์ที่พิกัดโคลด์ต่างๆ

ตาราง 3.5แสดงผลของความถี่จากการทดลอง และค่าจากการคำนวณ โดยการวัดค่าความเร็วรอบของมอเตอร์และคำนวณตามสมการ $(1 \pm 2s)f_e$ พบว่าผลจากการทดลองและการคำนวณให้ผลที่ใกล้เคียงกันสามารถยืนยันความถูกต้องของตำแหน่งสเปกตรัมกระแสเดตเตอร์ที่เกิดขึ้นจากการทดลอง

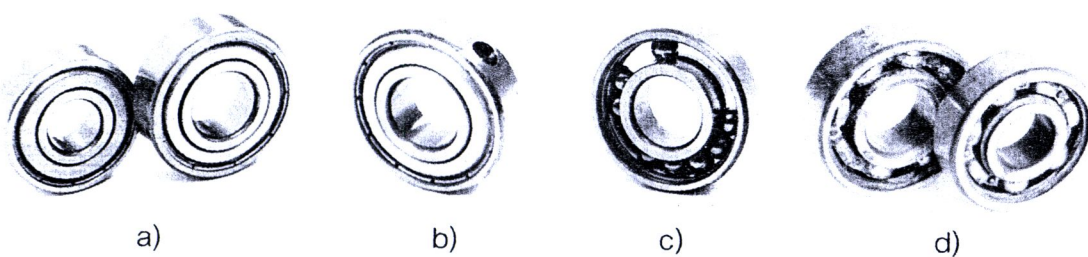
ตาราง 3.5 แสดงการเปรียบเทียบความถี่ระหว่างผลการทดลองและผลการคำนวณ

เบอร์ชีนต์	ความถี่จากการทดลอง		ความถี่จากการคำนวณ		เบอร์ชีนต์ความผิดพลาด	
	$(1+2s)f_e$	$(1-2s)f_e$	$(1+2s)f_e$	$(1-2s)f_e$	$(1+2s)f_e$	$(1-2s)f_e$
โคลด์						
20%	52.13	47.86	52	48	0.256	0.277
40%	52.86	47.13	52.8	47.2	0.126	0.141
60%	53.4	46.6	53.4	46.6	0	0
80%	54	46	54	46	0	0

100%	54.66	45.33	54.6	45.2	0.122	0.295
------	-------	-------	------	------	-------	-------

2.ผลการทดลองเมื่อแบร์จสีyahay

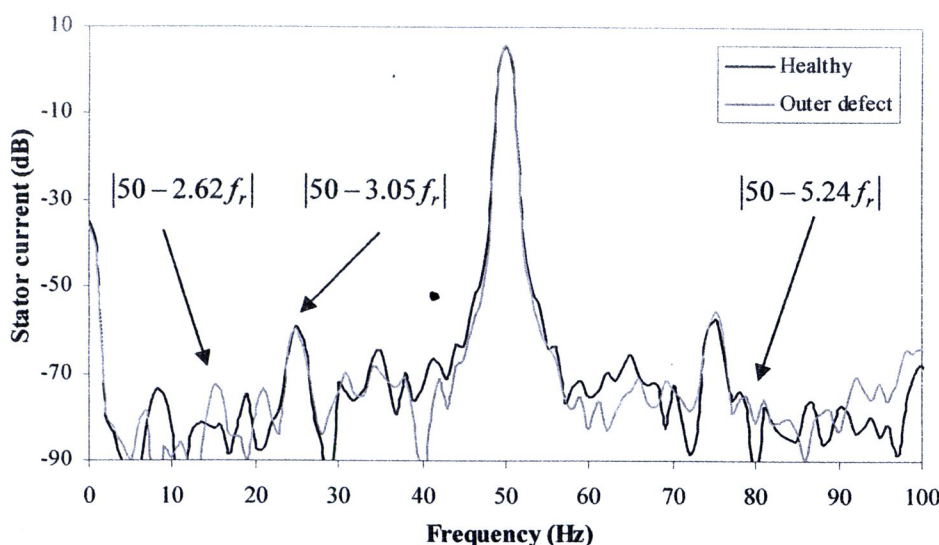
ผลการทดลองเมื่อแบร์จสีyahay ได้แบ่งวิธีการตรวจสอบออกเป็น 2 เทคนิค คือ การวิเคราะห์ด้วยสัญญาณกระแสสเตเตอร์ และการวิเคราะห์ด้วยสัญญาณเสียง สามารถแบ่งรูปแบบความเสียหายที่ใช้ทำการทดลองในห้องปฏิบัติการออกเป็น 4 กรณี ดังรูปที่ 3.21 ประกอบด้วย กรณีแบร์จสีyahay, ความเสียหายเนื่องจากโครงยึดลูกปืน (Cage) และความเสียหายเนื่องจากการกัดกร่อน (Corrosion)



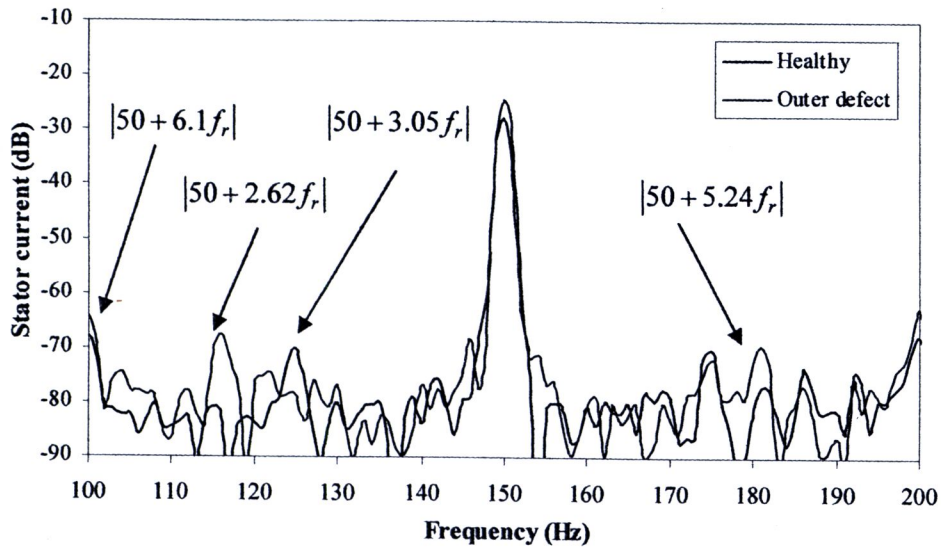
รูปที่ 3.21 แบร์จสีyahay ของอินดักชั่น莫เตอร์ที่ใช้ในการทดลอง a) แบร์จสีyahay b) ความเสียหายเนื่องจากองลื่นด้านนอก (Outer Raceway) c) ความเสียหายเนื่องจากโครงยึดลูกปืน (Cage) d) ความเสียหายเนื่องจากการกัดกร่อน (Corrosion)

ผลการทดลองสเปกตรัมกระแสสเตเตอร์

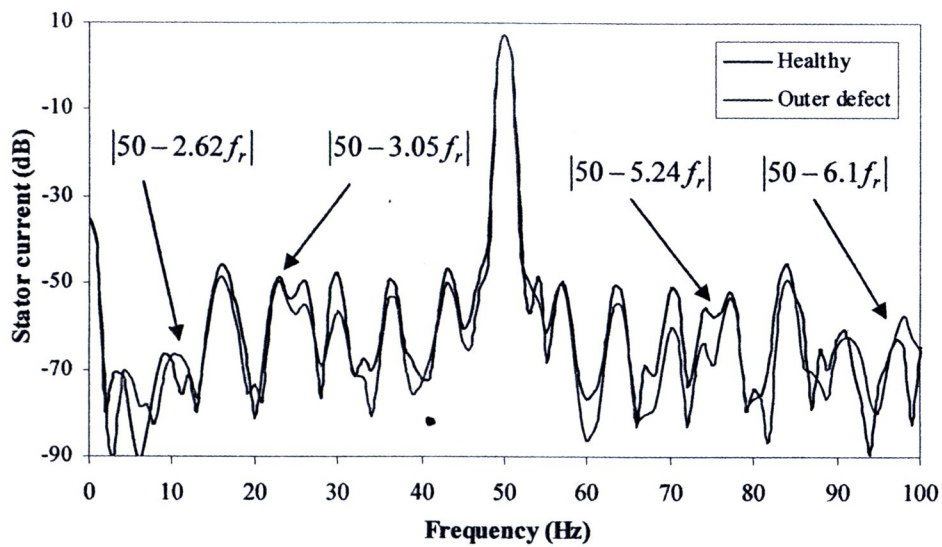
กรณี ความเสียหายเนื่องจากองลื่นด้านนอก (Outer Raceway)



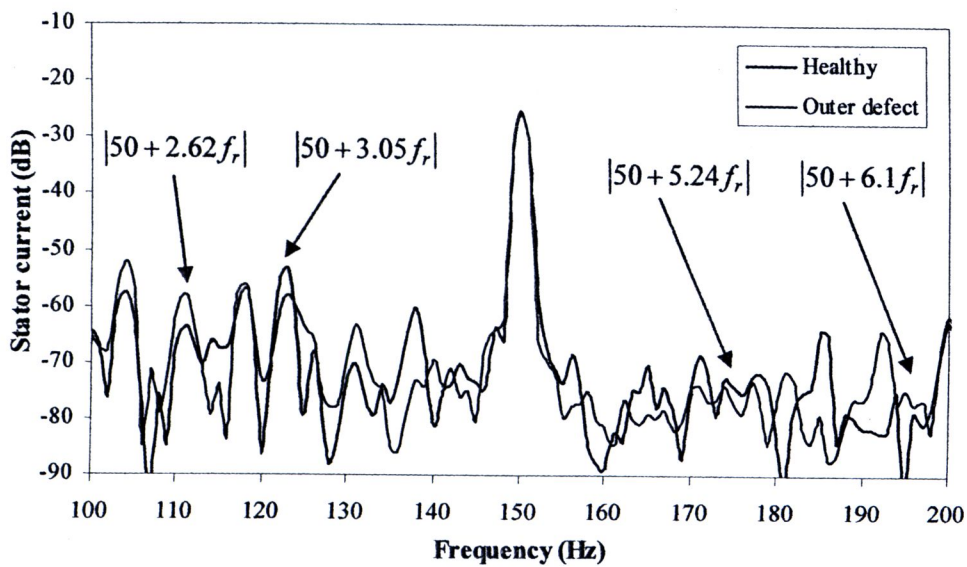
ສກວະໄຟໂຫລດ



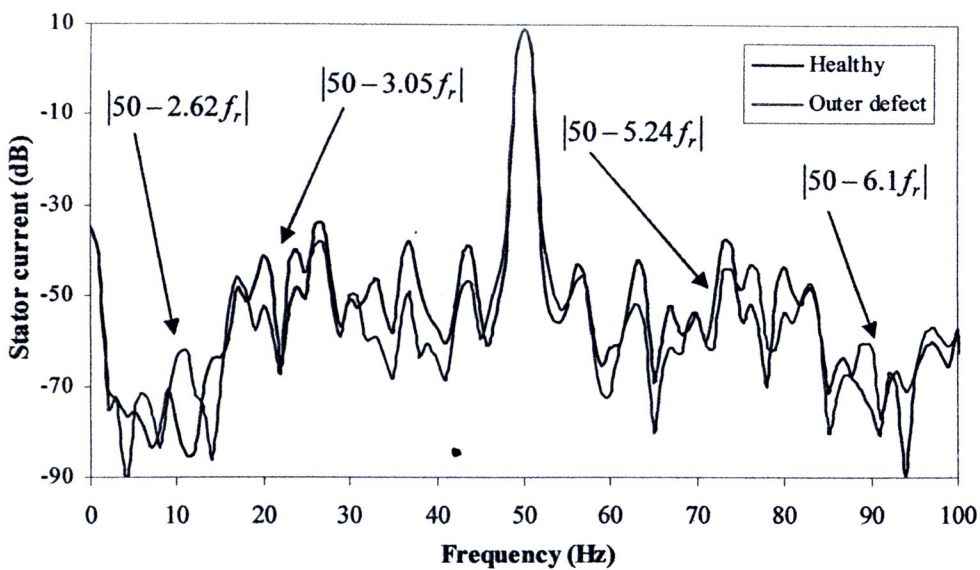
ສກວະໄຟໂຫລດ



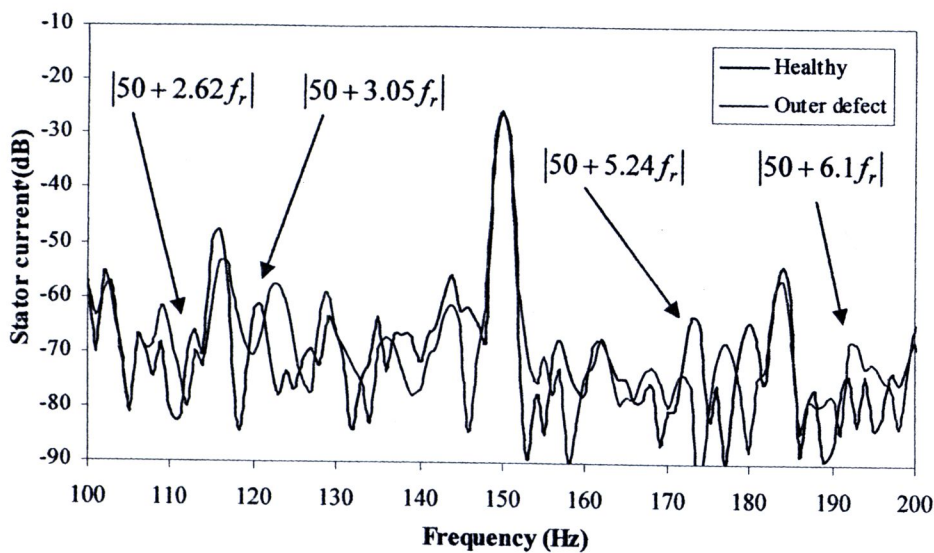
ໂຫລດ 50%



ໄທລດ 50%



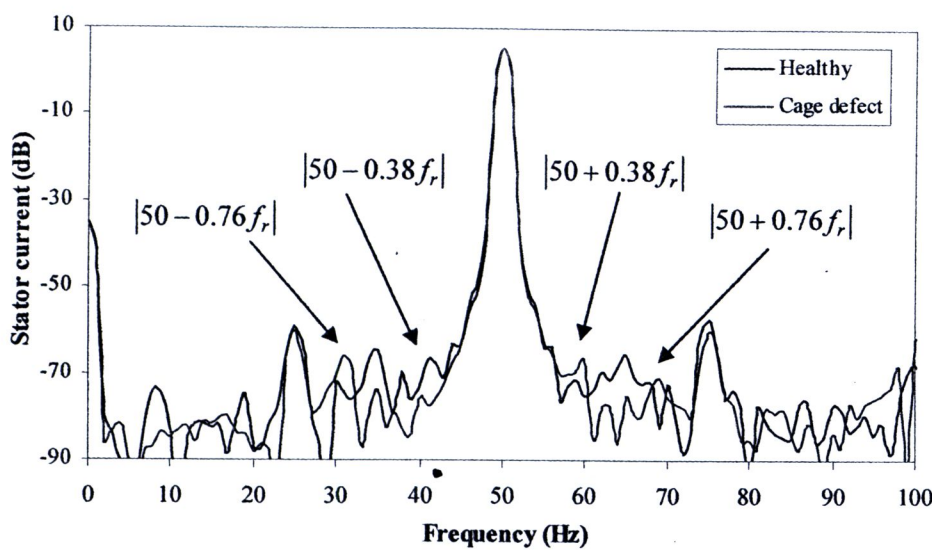
ໄທລດ 100%



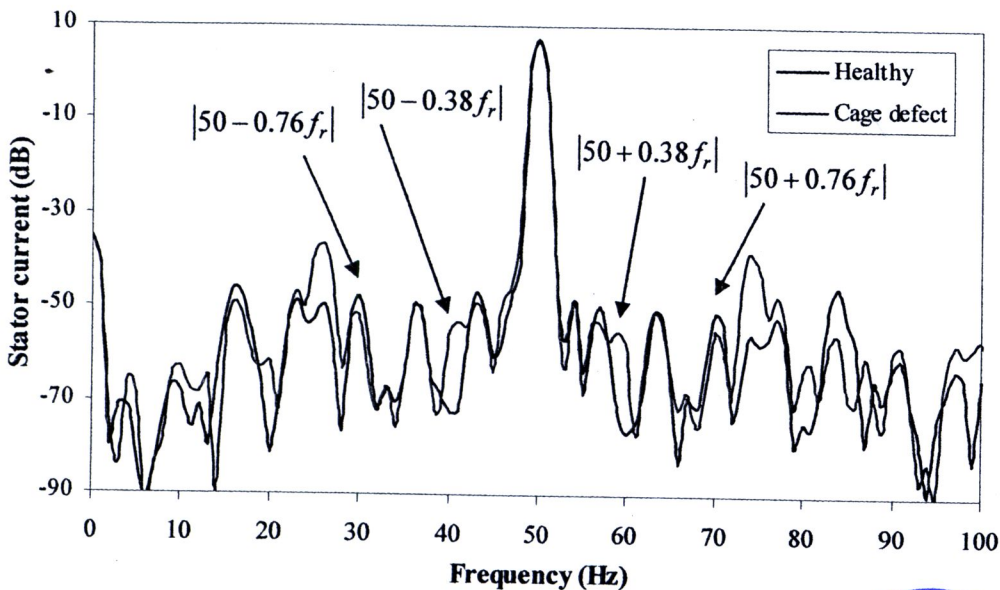
ໂທລດ 100%

ຮູບທີ 3.22 ການເປົ້າຂນ້າຍຂຶ້ນສະເປດຕົ້ນກຮະແສຈາກຄວາມເສີ່ຫາຍຮອງລື່ນດ້ານນອກ ພິກີດໂທລດຕ່າງໆ

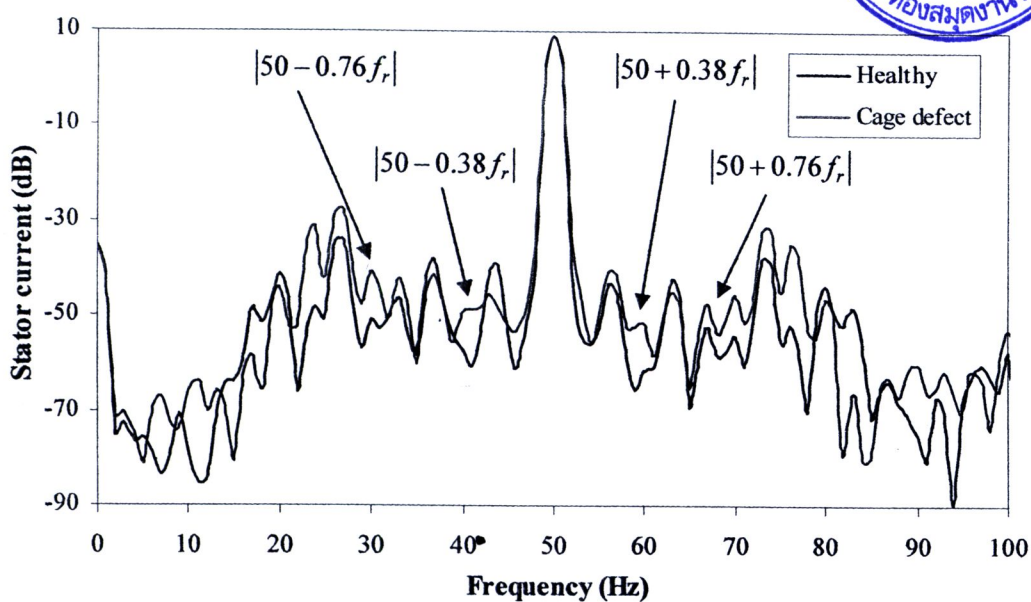
ກຣັບ ຄວາມເສີ່ຫາຍນີ້ອ່ານຈາກ ໂຄງໝັດລູກປິນ (Cage)



ສກວະໄວ້ໂທລດ



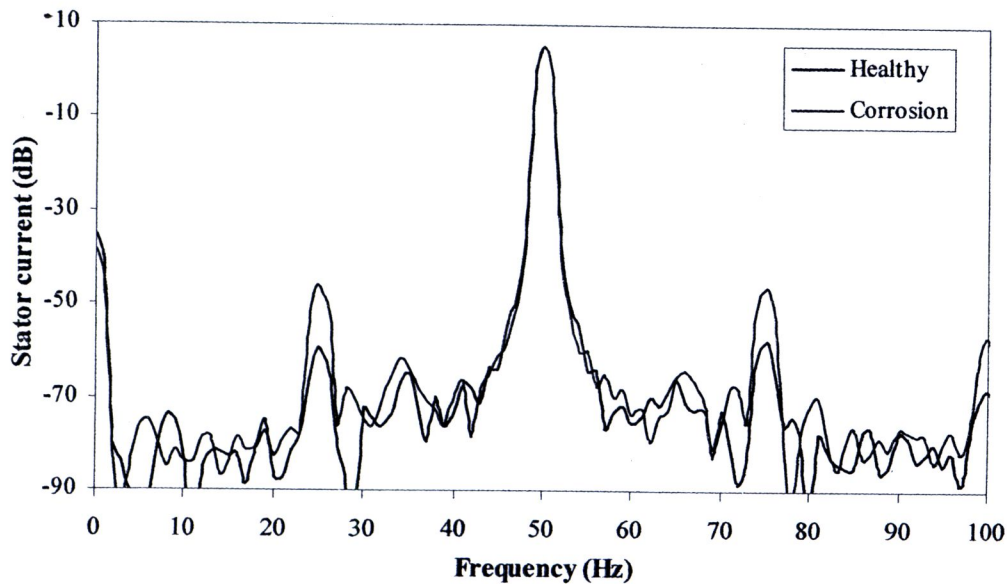
โหลด 50%



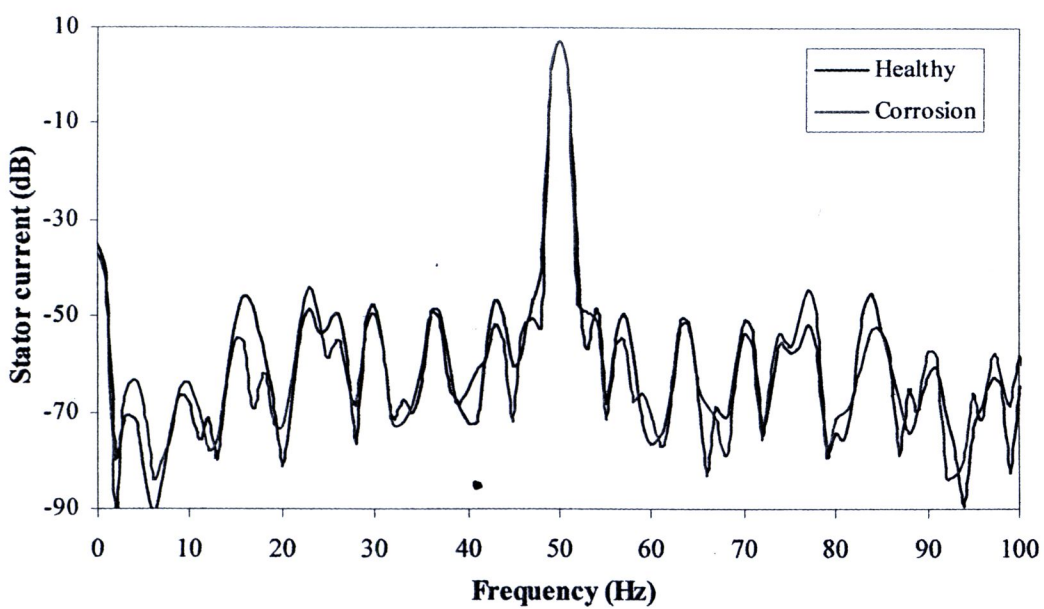
โหลด 100%

รูปที่ 3.23 การเปรียบเทียบสเปกตรัมกระแสจากความเสียหายโครงยึดลูกปืน พิกัดโหลดต่างๆ

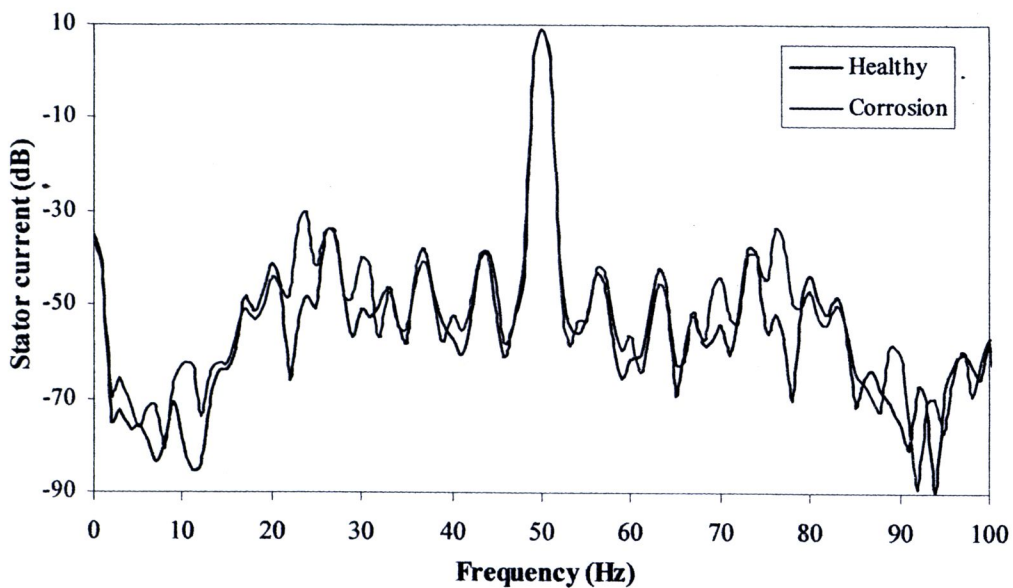
กราฟ ความเสียงของแม่เหล็กฟันจากการกัดกร่อน (Corrosion)



สภาวะไร้โหลด



โหลด 50%

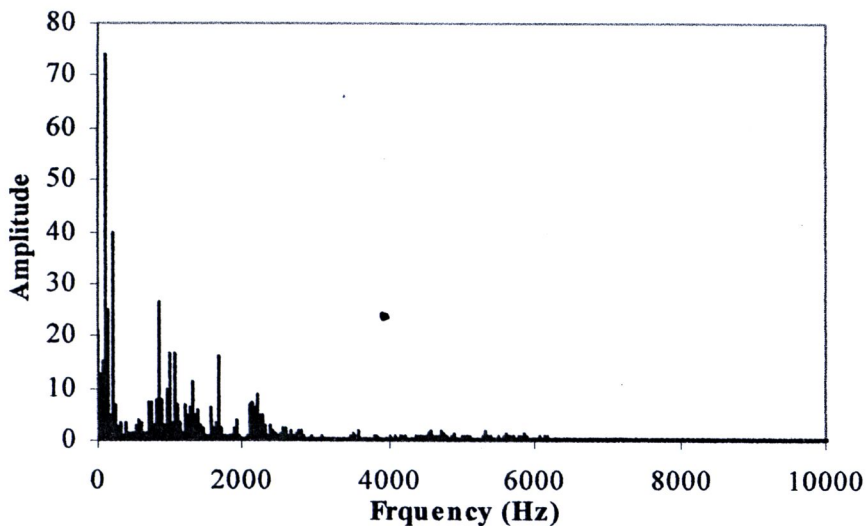


โหลด 100%

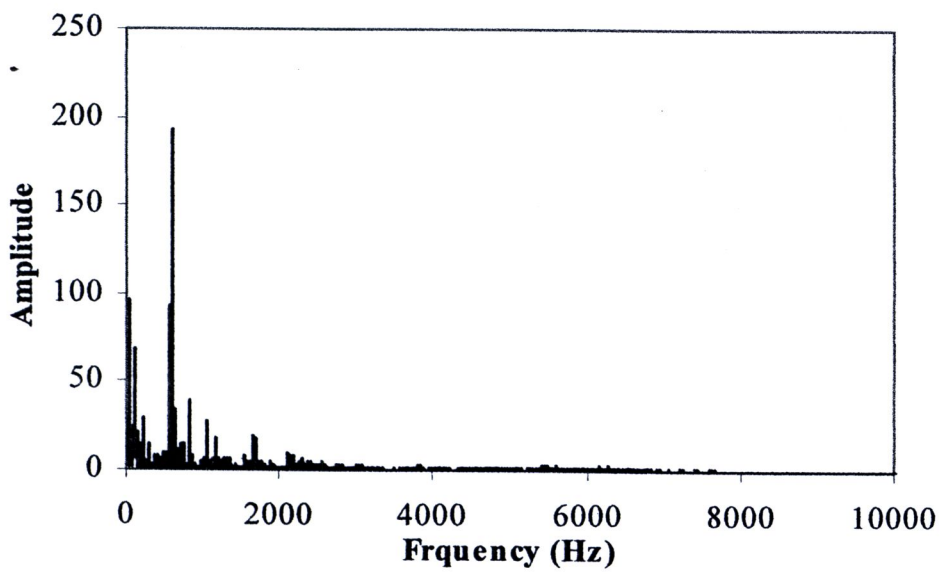
รูปที่ 3.24 การเปรียบเทียบสเปกตรัมกระ世家จากความเสียหายการกัดกร่อน พิกัดโหลดต่างๆ

ผลการทดลองสเปกตรัมเสียง

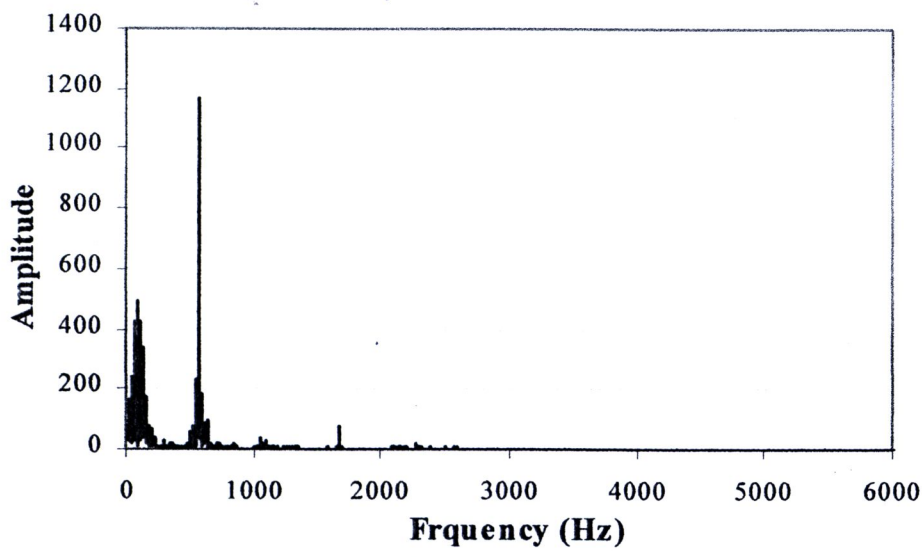
แบบร่องปกติ



สภาพไร้โหลด



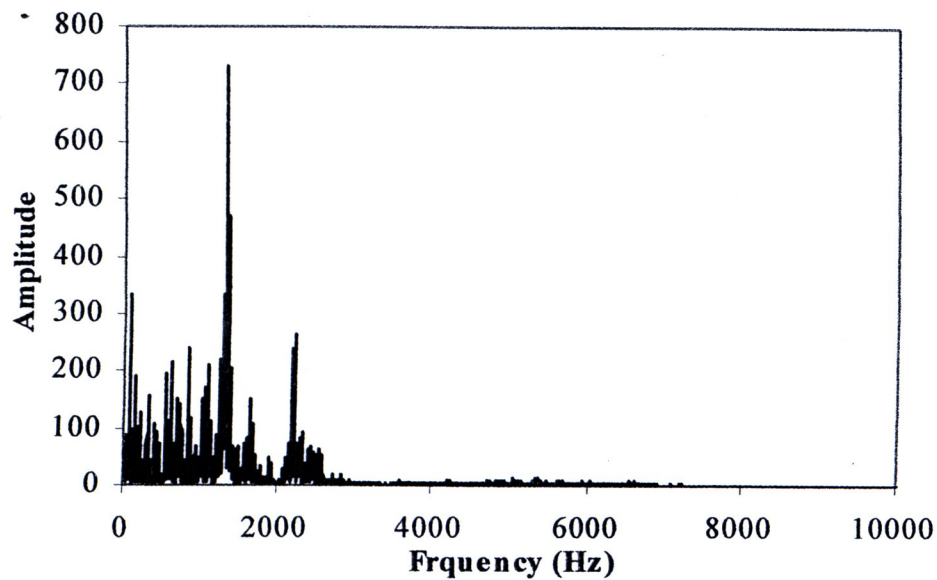
โหลด 50%



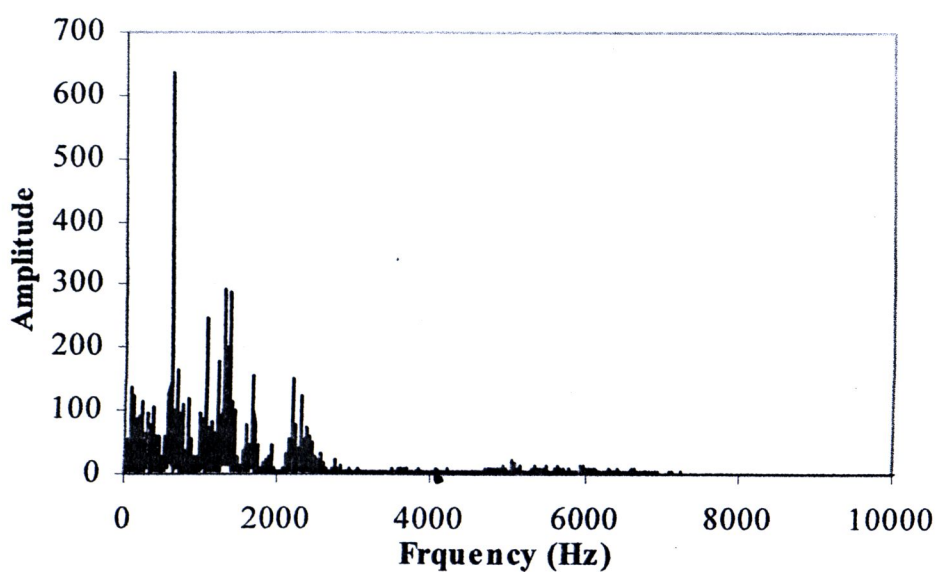
โหลด 100%

รูปที่ 3.25 การเปรียบเทียบสเปกตรัมเสียงกรณีแบร์งปกติ พิกัดโหลดต่างๆ

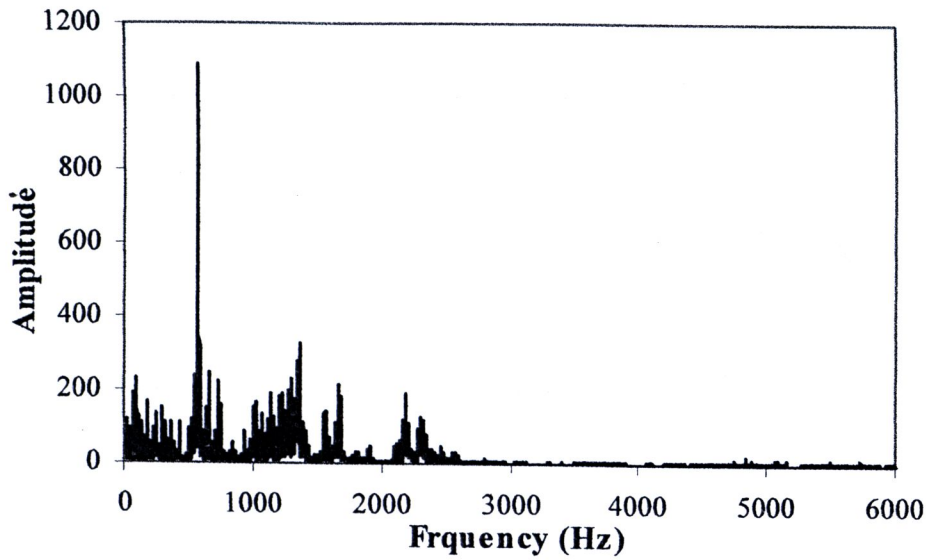
กราฟ ความเสียงทางเนื้องจากรองลื่นด้านนอก (Outer Raceway)



สภาวะไร้โหลด



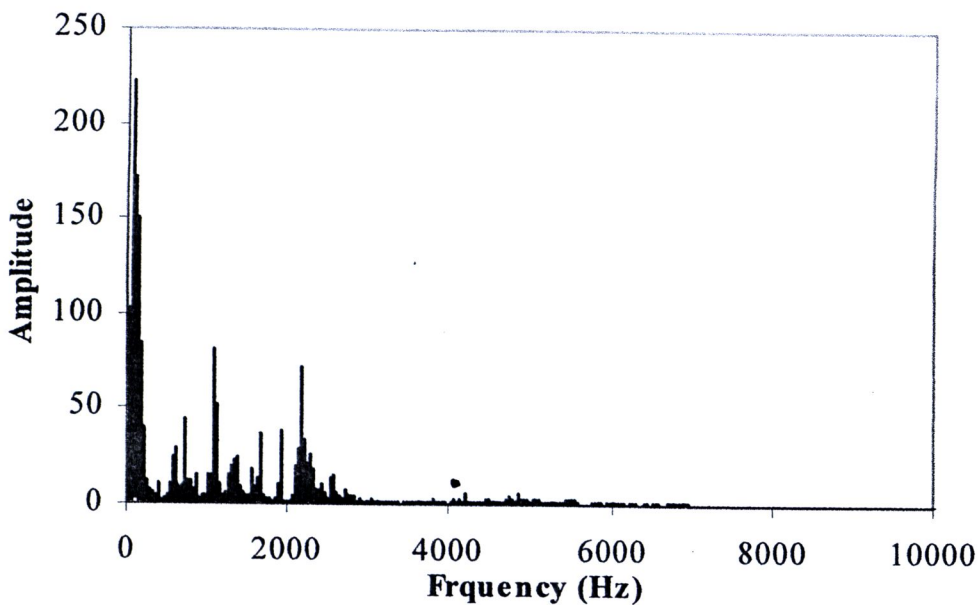
โหลด 50%



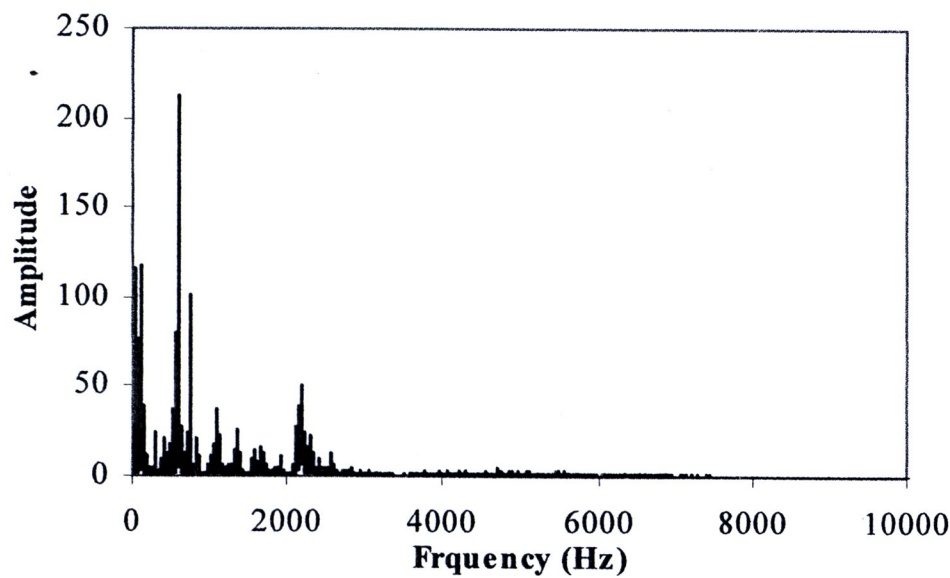
ໂຫລດ 100%

ຮັບທີ 3.26 ການເປົ້າຍນີ້ແບບສະເປດຕົວມເສີບຂາຍຄວາມເສີບຫາຍຮອງລື່ນດ້ານນອກ ພຶກສັດໂຫລດຕ່າງໆ

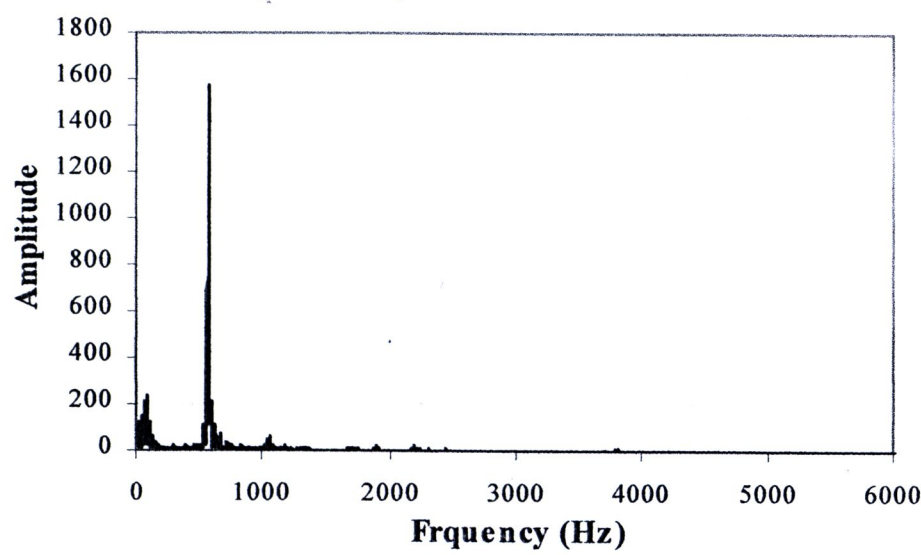
ກຣັມ ຄວາມເສີບຫາຍນີ້ອ່ານຈາກໂຄຮງບຶດລູກປິນ (Cage)



ສກວະໄຮ້ໂຫລດ



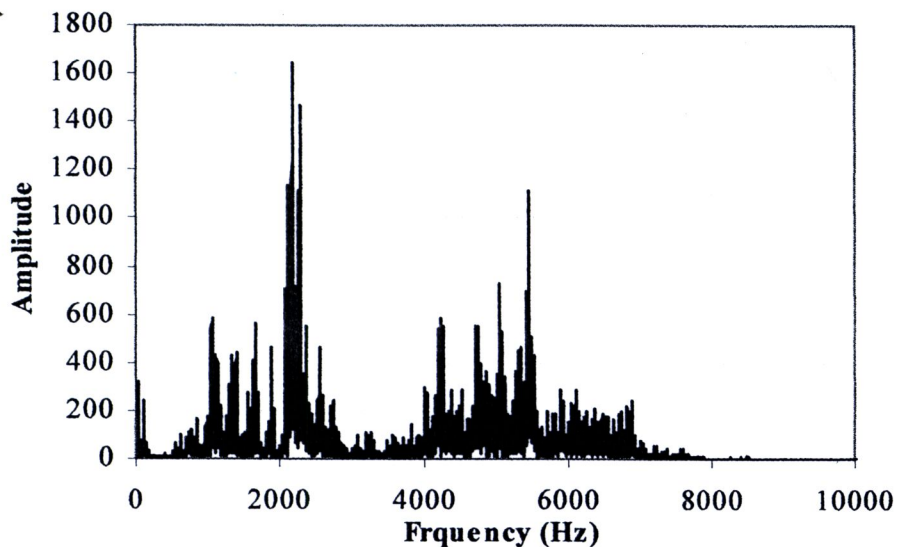
ไฟล์ 50%



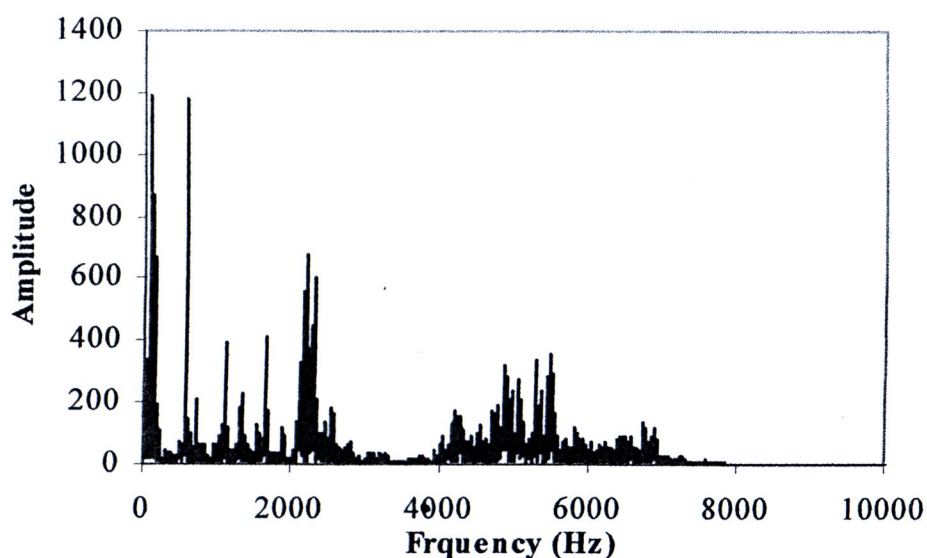
ไฟล์ 100%

รูปที่ 3.27 การเปรียบเทียบสเปกตรัมเสียงจากความเสียหายโรงเรือนลูกปืน พิกัดไฟล์ต่างๆ

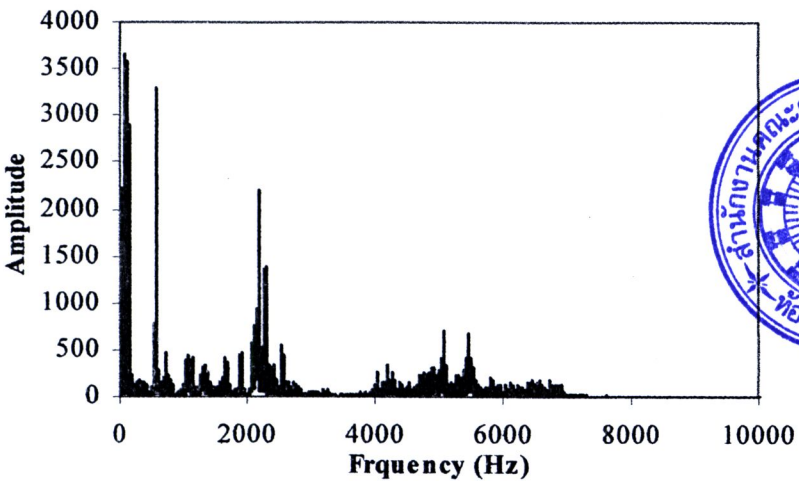
กราฟ ความเสียงหายน่องจากการกัดกร่อน (Corrosion)



สภาวะไขร์โลด



โหลด 50%



โอลด์ 100%

รูปที่ 3.28 การเปรียบเทียบสเปกตรัมเสียงจากความเสียหายการกัดกร่อน พิกัดโอลด์ต่างๆ

จากรูปที่ 3.22-3.28 สามารถอธิบายผลการทดลองดัง ตาราง 3.6 แสดงการเปรียบเทียบทekenikการวินิจฉัยต่างๆ กับความเสียหายของแบร์ริงชนิดต่างๆ พบว่าการวินิจฉัยความผิดปกติของแบร์ริงด้วยการวิเคราะห์สเปกตรัมกระระยะเดเตอร์ให้ผลที่ไม่ชัดเจนสำหรับกรณีของลิ่นด้านนอกเสียหาย (Outer -Raceway) และเกิดการกัดกร่อน (Corrosion) แต่สำหรับกรณีโครงขีดลูกปืนเสียหาย (Cage) ให้ผลสเปกตรัมกระระยะเดเตอร์อย่างชัดเจนตามความถี่ที่ทำนาย และการวินิจฉัยความผิดปกติของแบร์ริงด้วยการวิเคราะห์สเปกตรัมเสียงให้ผลที่ชัดเจนสำหรับความเสียหายของลิ่นด้านนอก และเกิดการกัดกร่อน แต่สำหรับกรณีโครงขีดลูกปืนเสียหายผลของสเปกตรัมเสียงให้ผลไม่แตกต่างกับกรณีแบร์ริงปกติ ดังนั้น การวินิจฉัยความเสียหายของแบร์ริงจึงมีความจำเป็นต้องใช้เทคนิคในการตรวจสอบหากหลายวิธี เพื่อให้เกิดความน่าเชื่อถือ และการวินิจฉัยความผิดปกติของแบร์ริงที่ถูกต้อง

ตาราง 3.6 แสดงการเปรียบเทียบทekenikการวินิจฉัยต่างๆ กับความเสียหายของแบร์ริง

Defective Condition	Diagnosis Techniques	
	Current Spectrum	Sound Spectrum
Outer Raceway	Fair	Good
Cage	Good	Bad
Corrosion	Bad	Good